

QB
4
.D66
G85
no. 23
ocgre



Energy, Mines and
Resources Canada

Énergie, Mines et
Ressources Canada

Earth Physics Branch

Direction de la physique du globe

This document was produced
by scanning the original publication.

Ce document est le produit d'une
numérisation par balayage
de la publication originale.

**Geomagnetic Service
of Canada**

**Service géomagnétique
du Canada**

**ANNUAL REPORT
FOR MAGNETIC OBSERVATORIES — 1980**

**RAPPORT ANNUEL
DES OBSERVATOIRES MAGNÉTIQUES — 1980**

**G. Jansen van Beek
R. L. Coles**

LIBRARY / BIBLIOTHÈQUE

MAR 23 1983

GEOLOGICAL SURVEY
COMMISSION GÉOLOGIQUE

RESERVE/RÉSERVÉ

NOT TO BE TAKEN FROM THE ROOM
POUR LA CONSULTATION SUR PLACE

**Geomagnetic Series
Number 23
Ottawa, Canada 1983**

**Série géomagnétique
Numéro 23
Ottawa, Canada 1983**



Energy, Mines and
Resources Canada

Énergie, Mines et
Ressources Canada

Earth Physics Branch

Direction de la physique du globe

1 Observatory Crescent
Ottawa Canada
K1A 0Y3

1 Place de l'Observatoire
Ottawa Canada
K1A 0Y3

**Geomagnetic Service
of Canada**

**Service géomagnétique
du Canada**

**ANNUAL REPORT
FOR MAGNETIC OBSERVATORIES — 1980**

**RAPPORT ANNUEL
DES OBSERVATOIRES MAGNÉTIQUES — 1980**

**G. Jansen van Beek
R. L. Coles**

**Geomagnetic Series
Number 23
Ottawa, Canada 1983**

**Série géomagnétique
Numéro 23
Ottawa, Canada 1983**

© Minister of Supply and Services Canada 1983

Available in Canada through
Authorized Bookstore Agents
and other bookstores

or by mail from

Canadian Government Publishing Centre
Supply and Services Canada
Hull, Quebec, Canada K1A 0S9

Earth Physics Branch,
Energy, Mines and Resources Canada,
1 Observatory Crescent,
Ottawa, Canada K1A 0Y3

Catalogue No. M74-32/23
ISBN: 0-660-52067-2
ISSN: 0704-3015

Canada: \$4.00
Other countries: \$4.80

Price subject to change without notice.

© Ministre des Approvisionnements et Services Canada 1983

En vente au Canada par l'entremise de nos
agents libraires agréés
et autres librairies

ou par la poste au :

Centre d'édition du gouvernement du Canada
Approvisionnement et Services Canada
Hull, Québec, Canada K1A 0S9

Direction de la physique du globe,
Énergie, Mines et Ressources Canada,
1 Place de l'Observatoire,
Ottawa, Canada K1A 0Y3

N° de catalogue M74-32/23
ISBN: 0-660-52067-2
ISSN: 0704-3015

Canada: \$4.00
Hors Canada: \$4.80

Prix sujet à changement sans avis préalable.

Foreword

In 1980, the Earth Physics Branch operated a network of 12 magnetic observatories. Several variation stations were also operated for parts of the year. This annual report describes the station sites, the instrumentation, and methods of data reduction and distribution.

Tables of hourly mean values and ranges, as well as summary tables of hourly means grouped according to all days, international quiet days, and international disturbed days are microfilmed. Microfilm copies are sent on a yearly basis to World Data Center A. Tables of K-indices for Victoria, Meanook, Ottawa, and St. John's are also included on the microfilm. Magnetic tapes containing digital data at 1 minute intervals, along with hourly mean values, are deposited at World Data Center A.

The magnetic observatories in Canada are operated by:

Division of Seismology and Geomagnetism
Earth Physics Branch
Energy, Mines and Resources Canada
Ottawa, Canada. K1A 0Y3

Avant-Propos

En 1980, la Direction de la physique du globe a exploité un réseau de douze observatoires magnétiques. Quelques stations d'enregistrement de variations magnétiques ont été aussi opérées pendant quelques périodes de l'année. Le présent rapport annuel décrit les sites des stations, les appareils, et les méthodes de réduction des données et de distribution.

Les tableaux d'amplitudes et des valeurs moyennes horaires, de même que les tableaux sommaires de valeurs moyennes horaires répartis par groupes selon tous les jours, les jours calmes internationaux, et les jours agités internationaux, sont enregistrés sur microfilm. On expédie annuellement des microfilm de ces tableaux au Centre mondial de données A (WDC A). Les tableaux de tous les indices K de Victoria, Meanook, Ottawa, et St-Jean (T.-N.) sont aussi inclus sur le microfilm. Les bandes magnétiques contenant les données numériques recueillies à des intervalles d'une minute, avec les valeurs moyennes horaires, sont également conservées au WDC A.

Les observatoires du champ magnétique au Canada sont administrés par la

Division de la séismologie et du géomagnétisme
Direction de la physique du globe
Énergie, mines et ressources Canada
Ottawa, Canada. K1A 0Y3

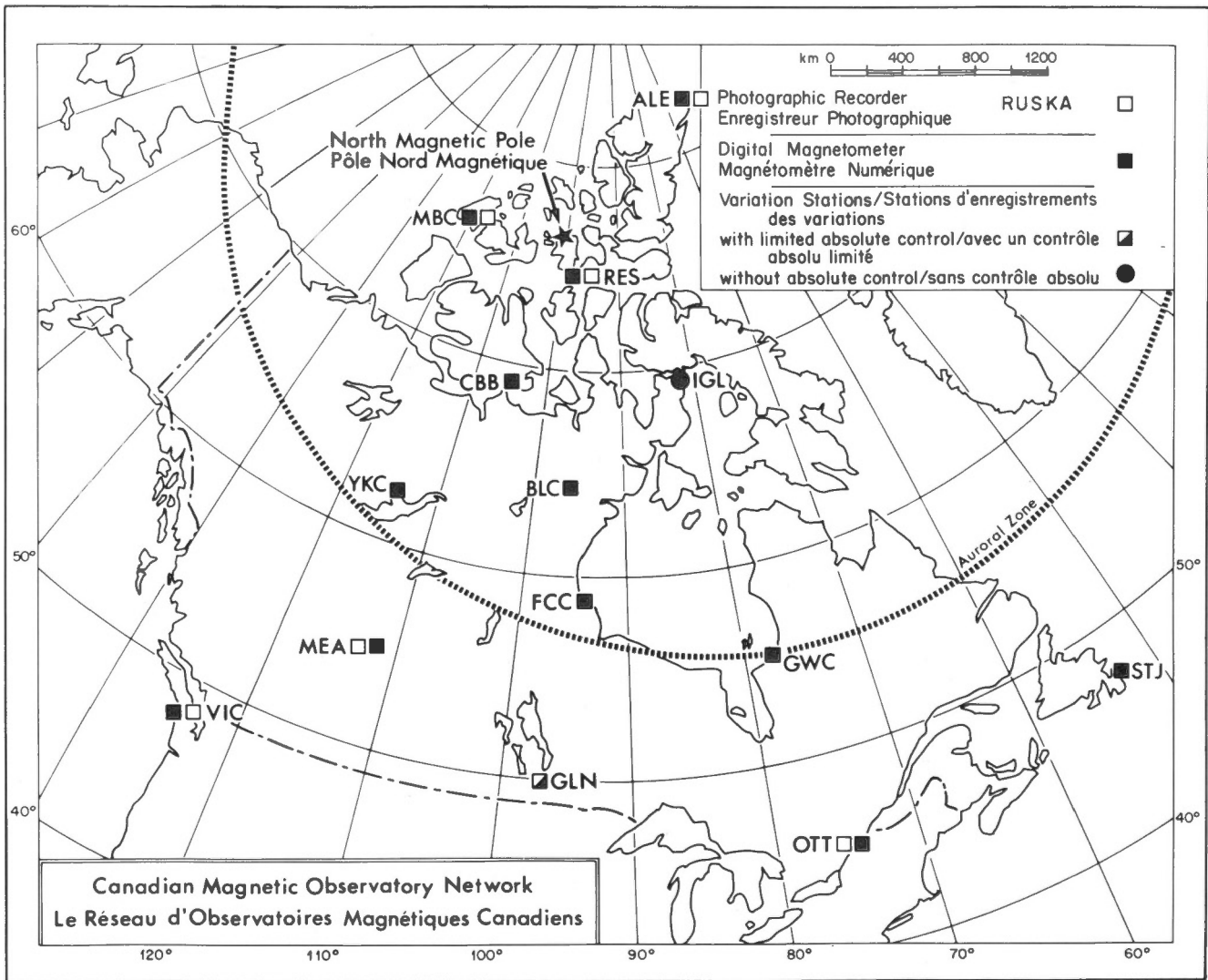


Table of Contents

Section I	INTRODUCTION.....	1
	OBSERVATORY INSTRUMENTS.....	4
	ABSOLUTE OBSERVATIONS AND BASELINE CALCULATIONS.....	9
	QUALITY OF DATA	11
	DATA DISTRIBUTION.....	12
Section II	STATION DESCRIPTIONS.....	15
	RESOLUTE BAY	
	OBSERVATORY SITE.....	16
	INSTRUMENTATION.....	16
	REDUCTION OF DATA.....	16
	MOULD BAY	
	OBSERVATORY SITE.....	20
	INSTRUMENTATION.....	20
	REDUCTION OF DATA.....	20
	CAMBRIDGE BAY	
	OBSERVATORY SITE.....	27
	INSTRUMENTATION.....	27
	REDUCTION OF DATA.....	27
	BAKER LAKE	
	OBSERVATORY SITE.....	32
	INSTRUMENTATION.....	32
	REDUCTION OF DATA.....	32
	YELLOWKNIFE B	
	OBSERVATORY SITE.....	36
	INSTRUMENTATION.....	36
	REDUCTION OF DATA.....	36
	FORT CHURCHILL	
	OBSERVATORY SITE.....	41
	INSTRUMENTATION.....	41
	REDUCTION OF DATA.....	41
	GREAT WHALE RIVER	
	OBSERVATORY SITE.....	45
	INSTRUMENTATION.....	45
	REDUCTION OF DATA.....	45
	MEANOOK	
	OBSERVATORY SITE.....	49
	INSTRUMENTATION.....	49
	REDUCTION OF DATA.....	49

ST. JOHN'S	
OBSERVATORY SITE.....	53
INSTRUMENTATION.....	53
REDUCTION OF DATA.....	53
OTTAWA	
OBSERVATORY SITE.....	57
INSTRUMENTATION.....	57
REDUCTION OF DATA.....	57
VICTORIA	
OBSERVATORY SITE.....	61
INSTRUMENTATION.....	61
REDUCTION OF DATA.....	62
PARAMETERS FOR RUSKA DATA REDUCTION.....	62
WHITESHELL (VARIATION STATION)	
INSTRUMENTATION.....	66
REDUCTION OF DATA.....	66
ALERT (VARIATION STATION)	
STATION SITE.....	71
REDUCTION OF DATA.....	71
Section III LOCAL QUIET DAYS	75
Section IV ANNUAL MEANS	77
REFERENCES	90

TABLE DES MATIERES

1ère partie	INTRODUCTION	1
	APPAREILS D'OBSERVATOIRES.....	4
	MESURES ABSOLUES ET CALCUL DES LIGNES DE BASE.....	9
	QUALITE DES DONNEES	11
	DISTRIBUTION DES DONNEES	12
2 ^e partie	DESCRIPTIONS DES STATIONS	15
	RESOLUTE BAY	
	SITE DE L'OBSERVATOIRE	16
	APPAREILS	16
	REDUCTION DES DONNEES	16
	MOULD BAY	
	SITE DE L'OBSERVATOIRE	20
	APPAREILS	20
	REDUCTION DES DONNEES	20
	CAMBRIDGE BAY	
	SITE DE L'OBSERVATOIRE	27
	APPAREILS	27
	REDUCTION DES DONNEES	27
	BAKER LAKE	
	SITE DE L'OBSERVATOIRE	32
	APPAREILS	32
	REDUCTION DES DONNEES	32
	YELLOWKNIFE	
	SITE DE L'OBSERVATOIRE	36
	APPAREILS	36
	REDUCTION DES DONNEES	36
	FORT CHURCHILL	
	SITE DE L'OBSERVATOIRE	41
	APPAREILS	41
	REDUCTION DES DONNEES	41
	GRANDE RIVIERE DE LA BALEINE	
	SITE DE L'OBSERVATOIRE	45
	APPAREILS	45
	REDUCTION DES DONNEES	45
	MEANOOK	
	SITE DE L'OBSERVATOIRE	49
	APPAREILS	49
	REDUCTION DES DONNEES	49

ST-JEAN (T.N.)	
SITE DE L'OBSERVATOIRE	53
APPAREILS	53
REDUCTION DES DONNEES	53
OTTAWA	
SITE DE L'OBSERVATOIRE	57
APPAREILS	57
REDUCTION DES DONNEES	57
VICTORIA	
SITE DE L'OBSERVATOIRE	61
APPAREILS	61
REDUCTION DES DONNEES	62
PARAMETRES DE REDUCTION DES DONNEES RUSKA	62
WHITESHELL (STATION D'ENREGISTREMENT DES VARIATIONS)	
APPAREILS	66
REDUCTION DES DONNEES	66
ALERT (STATION D'ENREGISTREMENT DES VARIATIONS)	
SITE DE L'OBSERVATOIRE	71
REDUCTION DES DONNEES	71
3 ^e partie JOURS CALMES LOCAUX	75
4 ^e partie VALEURS MOYENNES ANNUELLES	77
REFERENCES	90

ANNUAL REPORT FOR MAGNETIC OBSERVATORIES — 1980

RAPPORT ANNUEL DES OBSERVATOIRES MAGNÉTIQUES — 1980

G. Jansen van Beek
R. L. Coles

SECTION I

INTRODUCTION

The Canadian Magnetic Observatory Network in 1980 consisted of 12 observatories with the Automatic Magnetic Observatory System (AMOS)¹ in operation at all sites except Alert and Mould Bay. All observatories now record the orthogonal elements X(North), Y(east), and Z(vertical), although back-up systems are maintained in H,D,Z for reasons of continuity at the Kp and Kn observatories. The Telephone Verification System (TVS)² is available for monitoring data from all AMOS sites. A digital back-up system for AMOS was in operation at all stations.

The location, method of recording, and date of commencement of the observatories are given in Table A.

A number of temporary magnetic variation stations were operated in 1980 by the Division of Geomagnetism (now Division of Seismology and Geomagnetism) as part of the International Magnetospheric Study¹³ and the MAGSAT project¹⁴ (IMS/MAGSAT) (1976-1980.5). Three orthogonal components of the earth's field are sampled by a fluxgate magnetometer at 10-second intervals, and recorded on digital magnetic tape at all variation stations except Whiteshell, where the sampling is at intervals of 1-minute. Real-time data from six stations were transmitted via satellite to SELDADS, NOAA, Boulder, Colorado. Data are available from the Division of Seismology and Geomagnetism. Details of format and costs are given in the Catalogue of Services, edited by G. Jansen van Beek³. Averaged 1-minute digital data are deposited on a regular basis at World Data Centre A, Colorado.

PREMIERE PARTIE

INTRODUCTION

En 1980, le réseau d'observatoires magnétiques canadiens comprenait 12 stations munies d'un dispositif d'observation magnétique automatique (AMOS)¹ en service dans chacune d'elles, sauf à Alert et à Mould Bay. Tous les observatoires enregistrent maintenant les composantes orthogonales X(Nord), Y(Est) et Z (Vertical), bien que les réseaux auxiliaires enregistrent toujours les composantes H, D, Z, à des fins de continuité, aux observatoires Kp et Kn. Le réseau de vérification téléphonique (TVS)² est disponible pour le contrôle des données obtenues par les systèmes AMOS. Un système auxiliaire numérique pour AMOS a été installé dans toutes les stations.

L'emplacement, la méthode d'enregistrement et la date de mise en service des observatoires apparaissent dans le tableau A.

La Division du géomagnétisme (maintenant la Division de la séismologie et du géomagnétisme) a exploité en 1980 un certain nombre de stations temporaires de mesure de la variation du champ magnétique dans le cadre de l'Etude magnétosphérique internationale¹³ et du projet MAGSAT¹⁴ (EMI/MAGSAT) (1976-1980.5). Trois composantes orthogonales du champ terrestre sont relevées par un magnétomètre fluxgate à des intervalles de dix secondes, et enregistrées sur bandes magnétiques numériques à toutes les stations de variation, sauf celle de Whiteshell, où l'échantillonnage se fait toutes les minutes. Des données en temps réel en provenance de six stations ont été transmises par satellite à SELDADS, NOAA, Boulder, Colorado. Les données sont disponibles à la Division de la séismologie et du géomagnétisme. Le détail du format et des coûts de ces informations est donné dans

TABLE A

OBSERVATORIES		GEOGRAPHIC				GEOMAGNETIC*		ELEVATION	ELEMENTS RECORDED	DATE OF COMMENCE- MENT OF CONTINUOUS RECORDING IN THREE ELEMENTS	DATE CLOSED
Name	IAGA Code	Lat. °	N. '	Long.W. °	'	Lat.N. °	Long. E. °	m		Analogue	Digital
+Alert	ALE	82	30	62	21	85.7	168.5	60	X Y Z	Oct 1961	
Resolute	RES	74	42	94	54	83.1	287.7	25	X Y Z	Nov 1953	July 1973
Mould Bay	MBC	76	12	119	24	79.1	255.4	40	X Y Z	July 1962	
Cambridge Bay	CBB	69	06	105	00	76 7	294.0	17	H D Z X Y Z		Apr 1972 July 1974
Baker Lake	BLC	64	20	96	02	73.9	314.8	30	H D Z X Y Z	Mar 1951 July 1957	Nov 1971
Yellowknife B	YKC	62	28	114	28	69.1	292.7	198	X Y Z		Oct 1974
Fort Churchill	FCC	58	48	94	06	68.8	322.5	15	X Y Z	July 1957	Sept 1971
Great Whale River	GWC	55	18	77	45	66.8	347.2	25	H D Z X Y Z	Jan 1965	Oct 1972 July 1974
Agincourt	AGN	43	47	79	16	55.0	347.0	--	H D Z	1898	Mar 1969
Meanook	MEA	54	37	113	20	61.8	301.0	700	H D Z X Y Z	Sept 1931	Nov 1970 July 1974
St. John's	STJ	47	36	52	41	58.7	21.4	100	H D Z X Y Z	Aug 1968	Dec 1969 July 1974
Ottawa	OTT	45	24	75	33	57.0	351.5	75	H D Z X Y Z	July 1968	Sept 1970 Jan 1975
Victoria	VIC	48.31		123	25	54.3	292.7	185	H D Z X Y Z	July 1957	Nov 1970 July 1974
+Whiteshell	WHS	49	48	95	15	59.9	325.3	336	X Y Z		Jan 1976 Sept 1980
+Glenlea	GLN	49	36	97	06	59.5	323.0		X Y Z		Oct 1980

* Assuming geomagnetic pole 78.3 N, 291.0 E (Finch and Leaton, 1957).⁴

+ Variation stations with limited absolute control.

TABLEAU A

OBSERVATOIRES	GEOGRAPHIQUE	GEOGRAPHIQUE		GEOGRAPHIQUE		GEOGRAPHIQUE*	ALTITUDE	ELEMENTS ENREGISTRES	DATE DU DEBUT DE L'ENREGISTREMENT PERMANENT DE TROIS ELEMENTS		DATE DE LA FERMETURE	
		Lat. N.	Long. O.	Lat. N.	Long. E.				Enreg. Analogique	Enreg. Numerique		
Nom	AIGA Code	°	'	°	'	°	°	m				
+Alert	ALE	82	30	62	21	85.7	168.5	60	X Y Z	oct 1961		
Resolute Bay	RES	74	42	94	54	83.1	287.7	25	X Y Z	nov 1953	juil 1973	
Mould Bay	MBC	76	12	119	24	79.1	255.4	40	X Y Z	juil 1962		
Cambridge Bay	CBB	69	06	105	00	76.7	294.0	17	H D Z X Y Z		avr 1972 juil 1974	
Baker Lake	BLC	64	20	96	02	73.9	214.8	30	H D Z X Y Z	mars 1951 juil 1957	nov 1971	
Yellowknife B	YKC	62	28	114	28	69.1	292.7	198	X Y Z		oct 1974	
Fort Churchill	FCC	58	48	94	06	68.8	322.5	15	X Y Z	juil 1957	sep 1971	
Grande Riviere de la Baleine	GWC	55	18	77	45	66.8	347.2	25	H D Z X Y Z	jan 1965	oct 1972 juil 1974	
Agincourt	AGN	43	47	79	16	55.0	347.0	--	H D Z	1898		mars 1969
Meanook	MEA	54	37	113	20	61.8	301.0	~700	H D Z X Y Z	sep 1931	nov 1970 juil 1974	
St. Jean(T.-N.)	STJ	46	36	52	41	58.7	21.4	100	H D Z X Y Z	août 1968	dec 1969 juil 1974	
Ottawa	OTT	45	24	75	33	57.0	351.5	75	H D Z X Y Z	juil 1968	sep 1970 jan 1975	
Victoria	VIC	48	31	123	25	54.3	292.7	185	H D Z X Y Z	juil 1975	nov 1970 juil 1974	
+Whiteshell	WHS	49	48	95	15	59.9	325.3	336	X Y Z		jan 1976	sep 1980
+Glenlea	GLN	49	36	97	06	59.5	323.0		X Y Z		oct 1980	

* En prenant pour coordonnées du pôle géomagnétique 78.3 N et 291.0 E (Finch et Leaton, 1957)⁴

+ Stations d'enregistrement des variations avec un contrôle absolu limite.

A list of stations, with coordinates and method of recording is given in Table B. With the exception of Whiteshell, these stations were closed down in mid-1980. In September 1980, Whiteshell was closed down and replaced by Glenlea, 30 km south of Winnipeg.

OBSERVATORY INSTRUMENTS

Digital Magnetometer

A digitally recording magnetometer system (AMOS)¹ is the primary recorder at all Canadian observatories with the exception of Alert and Mould Bay. The AMOS records values of the orthogonal components of the field and total intensity F once a minute on digital magnetic tape in a format which can be read directly by computer. AMOS at all sites record X,Y,Z.

The orthogonal elements X,Y and Z are derived from three fluxgate sensors mounted inside a Helmholtz coil system. One pair of coils continuously nulls the principal horizontal component and the second pair, Z, so that the fluxgate operates in a relatively small field less than 15% of the total field at all stations. A proton precession magnetometer measures F.

Voltages proportional to the values of the three orthogonal components are sampled in quick succession by a digital voltmeter each minute. Then follows a measurement of F by the proton magnetometer. The four readings are recorded on digital magnetic tape together with the date, time and station identification.

The three-component fluxgate magnetometer in use with AMOS provides continuous traces of X,Y and Z on a strip-chart recorder at all AMOS stations. Automatic switching to half-sensitivity at times of large magnetic disturbance is provided at all sites. The chart is operated at 20 mm/hr, and provides a visual indication of magnetic field

le Catalogue des services, rédigé par G. Jansen Van Beek.³ Des données numériques recueillies à des intervalles moyens d'une minute sont déposées régulièrement au WDC A, au Colorado.

On trouvera, au tableau B, une liste des stations, de même que leurs coordonnées et la méthode d'enregistrement utilisée. Sauf celle de Whiteshell, on a terminé l'opération de ces stations en mi-1980. En septembre 1980, on a terminé l'opération de Whiteshell et cette station fut remplacée par Glenlea, situé à 30 km au sud de Winnipeg.

APPAREILS D'OBSERVATOIRES

Magnétomètre numérique

Le dispositif magnétomètre-enregistreur de données numériques (AMOS)¹ constitue le système principal d'enregistrement de tous les observatoires canadiens, excepté celles d'Alert et de Mould Bay. L'appareil AMOS enregistre les valeurs des composantes orthogonales du champ, ainsi que l'intensité totale F une fois par minute sur un ruban magnétique, sous forme numérique selon un format que l'ordinateur peut lire directement. Tous les appareils AMOS enregistrent X,Y,Z.

Les composantes orthogonales X,Y et Z sont données par trois capteurs fluxgate montés à l'intérieur d'un dispositif à bobines de Helmholtz. Une paire de bobines annule en permanence la composante horizontale principale et la seconde paire annule Z, de telle sorte que le fluxgate fonctionne sous un champ relativement faible (moins de 15 pour cent du champ total quelle que soit la station). Un magnétomètre à précession de protons mesure F.

Chaque minute, un voltmètre numérique recueille et mesure successivement des tensions proportionnelles aux valeurs des trois composantes orthogonales; puis le magnétomètre à précession de protons mesure F. Les quatre lectures sont enregistrées numériquement sur bande magnétique, suivies de la date, de l'heure et de l'indicatif de la station.

Le magnétomètre tri-directionnel fluxgate, utilisé dans le système AMOS, fournit des courbes continues des variations de X, Y (ou H, D) et Z, tracées par les enregistreurs sur papier dont sont dotées toutes les stations AMOS. Toutes les stations sont équipées d'un dispositif automatique qui fait baisser la sensibilité

TABLE B

OBSERVATORIES AND VARIATION STATIONS OPERATED BY THE EARTH PHYSICS BRANCH FOR THE

I.M.S. MAGNETOMETER NETWORK

STATION	IAGA CODE	IAGA NO. CODE	IMS NO. CODE	GEOGRAPHICAL COORDINATES		ELEMENTS RECORDED	DIGITAL DATA INTERVAL	DATE OF COMMENCEMENT		
				LAT. N °	LONG. W.(E) °			ANALOGUE RECORDING	DIGITAL RECORDING	REAL-TIME TRANSMISSION (SATELLITE)
<u>CHURCHILL LINE</u>										
Alert	ALE	007298		82.5	62.4 (297.6)	X Y Z	1 min	Oct 1961	Apr 1978	
Resolute Bay	RES	015265		74.7	94.9 (265.1)	X Y Z	1 min	Continuous	Continuous	
Mould Bay	MBC	014241		76.2	119.4 (240.6)	X Y Z	10 sec	Continuous	Mar 1978	
Pelly Bay	PEB	021270	13	68.5	89.8 (270.2)	H D Z	10 sec		Sept 1977	July 1978
Baker Lake	BLC	026264		64.3	96.0 (264.0)	X Y Z	1 min	Continuous	Continuous	
Rankin Inlet	RIT	027268	14	62.8	92.1 (267.9)	H D Z	10 sec	June 1975	Oct 1976	July 1978
Eskimo Point	EKP	029266	15	61.1	94.1 (265.9)	H D Z	10 sec	Jan 1972	Oct 1976	July 1978
Fort Churchill	FCC	031266		58.8	94.1 (265.9)	X Y Z	1 min	Continuous	Continuous	
Back	BKC	032266	16	57.7	94.2 (265.8)	H D Z	10 sec		Oct 1976	July 1978
Gillam	GIM	034264	17	56.4	94.7 (265.3)	H D Z	10 sec	Sept 1975	Apr 1977	July 1978
Island Lake	ISL	036265	20	53.9	94.7 (265.3)	H D Z	10 sec	Oct 1976	Oct 1976	July 1978
Whiteshell	WHS	040265		49.8	95.2 (264.8)	X Y Z	1 min	July 1975	Jan 1976	
<u>EAST WEST CHAIN</u>										
Fort Severn	FSV	034272	18	56.0	87.6 (272.4)	H D Z	10 sec		Oct 1976	
Great Whale River	GWC	035282		55.3	77.8 (282.2)	X Y Z	1 min	Continuous	Continuous	
Thompson	TMP	034262	19	55.7	97.9 (262.1)	H D Z	10 sec	Nov 1969	Oct 1976	

TABLEAU B

STATIONS D'ENREGISTREMENT DES VARIATIONS EXPLOITES PAR LA DIRECTION DE LA
PHYSIQUE DU GLOBE POUR LE RESEAU DE MAGNETOMETRES DU E.M.I.

STATION	AIGA CODE	AIGA NO. CODE	EMI NO. CODE	COORDONNEES		ELEMENTS ENREGISTRES	INTERVAL DE DONNEES NUMERIQUES	DATE DU DEBUT		TRANSMISSION EN TEMPS REEL (SATELLITE)
				LAT.N °	LONG.O.(E) °			ENREG. ANALOGIQUE	ENREG. NUMERIQUE	
<u>LA LIGNE CHURCHILL</u>										
Alert	ALE	007298		82.5	62.4 (297.6)	X Y Z	1 min	oct 1961	apr 1978	
Resolute Bay	RES	015265		74.7	94.9 (265.1)	X Y Z	1 min	continu	continu	
Mould Bay	MBC	014241		76.2	119.4 (240.6)	X Y Z	10 sec	continu	mars 1978	
Pelly Bay	PEB	021270	13	68.5	89.8 (270.2)	H D Z	10 sec		sept 1977	juil 1978
Baker Lake	BLC	026264		64.3	96.0 (264.0)	X Y Z	1 min	continu	continu	
Rankin Inlet	RIT	027268	14	62.8	92.1 (267.9)	H D Z	10 sec	juin 1975	oct 1976	juil 1978
Eskimo Point	EKP	029266	15	61.1	94.1 (265.9)	H D Z	10 sec	jan 1972	oct 1976	juil 1978
Fort Churchill	FCC	031266		58.8	94.1 (265.9)	X Y Z	1 min	continu	continu	
Back	BKC	032266	16	57.7	94.2 (265.8)	H D Z	10 sec		oct 1976	juil 1978
Gillam	GIM	034264	17	56.4	94.7 (265.3)	H D Z	10 sec	sept 1975	avr 1977	juil 1978
Island Lake	ISL	036265	20	53.9	94.7 (265.3)	H D Z	10 sec	oct 1976	oct 1976	juil 1978
Whiteshell	WHS	040265		49.8	95.2 (264.8)	X Y Z	1 min	juil 1975	jan 1976	
<u>LA CHAINE EST-OUEST</u>										
Fort Severn	FSV	034272	18	56.0	87.6 (272.4)	H D Z	10 sec		oct 1976	
Grand Riviere de la Baleine	GWC	035282		55.3	77.8 (282.2)	X Y Z	1 min	continu	continu	
Thompson	TMP	034262	19	55.7	97.9 (262.1)	H D Z	10 sec	nov 1969	oct 1976	

conditions.

Installation and maintenance of AMOS is carried out by Branch staff located in Ottawa who travel as required to AMOS sites. In addition a telephone verification system (TVS)² has been developed whereby the operation of an AMOS at some distant point is monitored by the operations controller in Ottawa by means of connections to commercial telephone circuits. All AMOS sites are interrogated from Ottawa for one or two minutes each day, to record data actually being produced together with signals indicating a malfunction of the distant equipment. Frequently an AMOS malfunction can be diagnosed immediately from the TVS check; replacement modules for the equipment are then shipped to the station, dispensing with the necessity of a costly service trip.

An analysis of the frequency and nature of AMOS breakdowns for the years 1975, 1976 was given in the 1977 annual report.

To reduce noise spikes in the F data, the proton precession magnetometer (PPM) sensors are operated inside a cube, 0.6 m to the side, constructed of 3 mm aluminum sheeting.

To minimize temperature variations at times of power failure or heater malfunction, the AMOS fluxgate sensor and associated Helmholtz coils are placed inside a styrofoam box.

Photographic recorders

A set of three-component standard-run Ruska variometers recording the North (X) and East (Y) (or Horizontal intensity (H) and Declination (D)) and the vertical (Z) components of the earth's magnetic field was the primary recorder at Alert and Mould Bay, and provided an independent analogue back-up system at Resolute Bay, Meanook, Ottawa and Victoria. The time scale of the Ruska magnetograms is 20 mm/hr. The hour marks at

de moitié en période de grande perturbation magnétique. La feuille d'enregistrement se déroule à raison de 20 mm/h, et fournit une indication visuelle des conditions du champ magnétique.

L'installation et l'entretien des appareils AMOS sont exécutés par le personnel de la Direction, établi à Ottawa, qui se rendent aux observatoires du réseau AMOS chaque fois que c'est nécessaire. En outre, on a mis au point un système de vérification téléphonique (TVS)², grâce auquel le fonctionnement d'un appareil AMOS situé à distance est surveillé, depuis Ottawa, par le contrôleur des opérations à l'aide des réseaux téléphoniques commerciaux. Tous les emplacements AMOS sont interrogés à partir d'Ottawa pendant une à deux minutes par jour, de manière à enregistrer les données produites en même temps que les signaux indiquant une défaillance éventuelle des appareils éloignés. Le plus souvent, on peut ainsi reconnaître immédiatement la cause d'une défaillance d'un appareil AMOS, grâce à la vérification TVS; on peut, alors, expédier à la station les modules de remplacement nécessaires, évitant ainsi le déplacement coûteux d'un dépanneur.

Le rapport annuel de 1977 présente une analyse de la fréquence et de la nature des pannes du système AMOS pour 1975 et 1976.

Pour réduire les bruits parasites qui se superposent aux données F, les capteurs du magnétomètre à protons (PPM) fonctionnent à l'intérieur d'une enceinte cubique de 0,6 m de côté, constituée d'un blindage d'aluminium de 3 mm d'épaisseur.

Pour réduire les variations de température en cas de panne de courant ou de panne du dispositif de chauffage, les capteurs du magnétomètre fluxgate AMOS et les bobines de Helmholtz connexes sont placés à l'intérieur d'une boîte en mousse de polystyrène.

Enregistreurs photographiques

Un ensemble de trois variomètres de type Ruska courant enregistrant les composantes nord (X), est (Y) (ou l'intensité horizontale (H) et la déclinaison (D)), et verticale (Z) du champ magnétique terrestre, constitue le dispositif principal d'enregistrement à Alert et à Mould Bay, et un dispositif analogue auxiliaire indépendant à Resolute Bay, Meanook, Ottawa et Victoria. L'échelle des temps (vitesse de déroulement) des

all observatories are initiated on the hour by a crystal-controlled clock and last for approximately 15 to 20 seconds. The Ruska variometers at the K-index observatories Meanook, Victoria and Ottawa are provided with a long-run recorder⁵ capable of running unattended for up to two months.

Thermostatically controlled electric heaters maintained the temperature in the variometer rooms constant to $\pm 1.5^{\circ}\text{C}$ for periods of a few months, except at times of power failure or heater malfunction. Building temperatures are kept below 12°C during months when the heaters are in operation. The correction for seasonal temperature changes is included in the adopted baseline values. Mean hourly values have been corrected for significant temperature changes occurring over periods of a few hours to a few days.

The sensitivity of the Ruska temperature trace is $1.3^{\circ}\text{C}/\text{mm}$.

Procedures for determining temperature and parallax corrections, and scale values for use with the Ruska magnetograms have been discussed in previous annual reports. These parameters for 1979 are listed in the brief reports which follow for each observatory.

Typically the uncertainty in the Ruska temperature coefficient is $0.6 \text{ nT}/^{\circ}\text{C}$. The uncertainty in the adopted scale values should be less than 0.3% .⁶

Digital stand-by system

A Datel data-logger⁸ is the digital stand-by recorder at all stations. It records the voltage output each minute from three orthogonal (XYZ) sensors. In order to use the output from the Datel to interpolate for missing intervals in AMOS data, the Datel values are timed and calibrated by comparison with AMOS for the hours immediately before and after the missing AMOS intervals.

magnétogrammes Ruska est de $20 \text{ mm}/\text{h}$. Dans tous les observatoires, les marques horaires sont déclenchées par une horloge à quartz; elles ont une durée de 15 à 20 secondes. Les variomètres Ruska aux observatoires "K" de Meanook, Victoria et Ottawa sont fournis d'un enregistreur de longue durée 5 capable de fonctionner sans surveillance jusqu'à deux mois.

Des éléments chauffants électriques contrôlés par thermostat ont permis de maintenir une température constante dans les pièces où se trouvaient les variomètres, à $\pm 1,5^{\circ}\text{C}$ près sur des périodes de plusieurs mois, sauf en cas de panne de courant, ou de défaillance du dispositif de chauffage. Les températures des édifices sont maintenues à moins de 12°C au cours des mois de fonctionnement du dispositif de chauffage. La correction des variations de températures saisonnières est incluse dans les valeurs de ligne de base adoptées. Les valeurs horaires moyennes ont été corrigées chaque fois qu'il y a eu des écarts importants de température persistant pendant des durées de quelques heures à quelques jours.

La sensibilité de la courbe de température de l'appareil Ruska est de $1,3^{\circ}\text{C}/\text{mm}$.

Dans les rapports annuels précédents, nous avons parlé des méthodes utilisées pour déterminer les corrections de température et de parallaxe, de même que les valeurs d'échelle à employer avec les magnétogrammes Ruska. Pour 1980, ces paramètres sont donnés pour chaque observatoire dans les brefs comptes rendus qui suivent.

Normalement, l'incertitude qui entache le coefficient de température à appliquer aux lectures Ruska est de $0,6 \text{ nT}/^{\circ}\text{C}$. L'incertitude sur les valeurs d'échelle adoptées doit être inférieure à $0,3$ pour cent.⁶

Réseau numérique de réserve

On utilise un enregistreur numérique Datel⁸ de réserve à toutes les stations. Il enregistre chaque minute la tension de sortie donnée par trois capteurs orthogonaux (XYZ). Afin d'obtenir par interpolation les données du système AMOS manquantes, les valeurs enregistrées sur Datel sont chronométrées et calibrées par rapport à celles du système AMOS durant les heures qui précèdent et suivent immédiatement les intervalles manquants.

Absolute instruments

The absolute instruments in use throughout the Canadian network are a proton precession magnetometer¹ for the measurement of total field intensity (F) and a portable electrical magnetometer of the saturable core type⁹ used with the internally reading non-magnetic Jena (020) theodolite for measurement of declination (D) and inclination (I). In 1980 the fluxgate magnetometers used to measure declination and inclination were standardized against the Ottawa instrument, and new instrument constants were adopted where necessary.

ABSOLUTE OBSERVATIONS AND BASELINE CALCULATIONS

In the Canadian observatory network, the requirement for adequate absolute control is at least one set a week of declination (D), inclination (I) and total intensity (F) measurements made during magnetically quiet times in an environment carefully controlled to exclude spurious magnetic effects and large temperature fluctuations.

Calculation of baselines

The automatic magnetic observatory system (AMOS) is a quasi-absolute instrument recording three orthogonal field components and total field intensity once a minute on digital tape. These systems constitute a class of magnetic stations intermediate to magnetic observatories and variation stations. At present, the AMOS is regarded solely as a digital variometer, and edited AMOS values are corrected to the absolute reference pier of the observatory by comparison with the measurements of D, I, F carried out once or twice weekly at each observatory.

In the AMOS editing process,¹⁰ each one-minute value derived from the fluxgate sensor is multiplied by the factor F/F^* where F is the total force reading of the proton precession magnetometer for that minute and F^* is calculated from the three orthogonal

Appareils de mesure absolue

Les appareils de mesure absolue utilisés dans tout le réseau canadien sont les suivants: un magnétomètre à précession de protons¹ pour la mesure de l'intensité du champ total (F), et un magnétomètre électrique portatif, du type à noyau saturable⁹, utilisé avec le théodolite Jena (020) non magnétique à lecture interne pour mesurer la déclinaison (D) et l'inclinaison (I). En 1980, les magnétomètres servant à mesurer la déclinaison et l'inclinaison ont été étalonnés par rapport à l'instrument d'Ottawa, et de nouvelles constantes ont été adoptées pour ces appareils lorsque cela a été nécessaire.

MESURES ABSOLUES ET CALCUL DES LIGNES DE BASE

Pour obtenir un contrôle satisfaisant des magnétographes Ruska du réseau des observatoires canadiens, il faut disposer, au moins une fois par semaine, d'un ensemble de mesures de la déclinaison (D), de l'inclinaison (I) et de l'intensité du champ total (F), faites dans un environnement soigneusement contrôlé (c'est-à-dire débarrassé de tout effet magnétique parasite et de toute fluctuation importante de température) pendant une période magnétiquement calme.

Calcul des lignes de base

Le système AMOS (observatoire magnétique automatique) utilise un appareil de mesure quasi absolue, qui enregistre, chaque minute sur bande magnétique, trois composantes orthogonales du champ et l'intensité du champ total. Les stations du réseau constituent une classe de stations magnétiques intermédiaires entre les observatoires magnétiques et les stations à variomètres. Pour le moment, on considère l'appareil AMOS comme étant uniquement un enregistreur numérique, et les valeurs AMOS, une fois mises en forme, sont corrigées pour les rattacher aux valeurs absolues au pilier de référence de l'observatoire, par comparaison avec les mesures de D, I et F effectuées une ou deux fois par semaine à chaque observatoire.

La mise en forme des données AMOS¹⁰ se fait comme suit: les valeurs fournies chaque minute par le capteur fluxgate sont multipliées chacune par le facteur F/F^* , F étant la lecture de l'intensité totale donnée par le magnétomètre à précession de protons

fluxgate values ($F^* = (X^2 + Y^2 + Z^2)^{1/2}$). Effects of temperature variation on the fluxgate sensor and associated Helmholtz coils, and other effects which are proportional to the intensity of the field components measured by the sensor, are largely removed by multiplication with F/F^* . Changes in level and azimuth of the fluxgate assembly, assumed to be gradual, are compensated by addition of a correction (AMOS baseline) given by comparison between absolute field measurements and simultaneous AMOS values. The procedure is analogous to determining Ruska magnetogram baseline values.

The procedure for calculating baselines for the Ruska magnetograms has been given in detail in the 1972 and 1973 Annual Reports. In general each Ruska and AMOS baseline determination is based on the mean of four or six absolute measurements of D, I, F. The standard deviation from the mean of the baselines calculated from these measurements is an indication of the quality of the set of absolute observations. The final Ruska and AMOS baseline values are adopted by fitting the best straight line to the observed values between known discontinuities. During intervals when the quality of the observed values is significantly non-uniform, the values are first weighted according to their standard deviation. For Alert and Mould Bay, where the Ruska remains the primary recorder, lists of adopted and observed Ruska baselines and scale values are given. For all other observatories the corrections that have been used for reducing AMOS data to the absolute reference of the observatory are given. All baseline drifts are assumed to be linear unless otherwise indicated.

The absolute values of Z and H are calculated from the relations $Z = F \sin I$ and $H = F \cos I$, where Z, H and F are field values at the time of the I measurement.

In determining the absolute value of X and Y for observatories recording

pour cette minute et F^* étant calculé à partir des trois composantes orthogonales données par les capteurs fluxgate ($F^* = (X^2 + Y^2 + Z^2)^{1/2}$). Les effets des variations de température sur le capteur fluxgate et les bobines de Helmholtz dont il est pourvu, ainsi que les autres effets qui sont proportionnels à l'intensité des composantes du champ mesurées par le capteur, sont en grande partie éliminés par cette multiplication par F/F^* . On compense les variations de niveau et d'azimut, qui affectent l'ensemble fluxgate et qui sont supposées être progressives, en ajoutant une correction (ligne de base AMOS) dont la valeur est fournie par la comparaison entre les mesures absolues du champ et les valeurs obtenues simultanément par l'appareil AMOS. La méthode est analogue à celle qu'on emploie pour déterminer les valeurs de ligne de base des magnétogrammes Ruska.

La marche à suivre pour calculer les valeurs de ligne de base des magnétogrammes Ruska a été exposée en détail dans les rapports annuels de 1972 et 1973. D'une manière générale, toute détermination de ligne de base, qu'il s'agisse de Ruska ou d'AMOS, est basée sur la moyenne de quatre ou six mesures absolues de D, I et F. L'écart-type des valeurs de ligne de base, calculé à partir de ces mesures, est une indication de la qualité de l'ensemble des mesures absolues. Les valeurs définitives des lignes de base Ruska et AMOS sont obtenues en traçant la ligne droite qui correspond le mieux aux valeurs observées entre deux discontinuités connues. Pendant les périodes au cours desquelles la qualité des valeurs observées est manifestement non uniforme, ces valeurs sont d'abord pondérées en fonction de leur écart-type. Dans les cas d'Alert et de Mould Bay, où le Ruska demeure l'appareil d'enregistrement principal, les listes des lignes de base adoptées et des échelles observées sont données. Pour les autres observatoires, les corrections utilisées pour réduire les données AMOS à la référence absolue de chaque observatoire sont fournies. Sauf indication contraire, la dérive des lignes de base en fonction du temps est supposée linéaire.

On calcule les valeurs absolues de Z et H à l'aide des équations $Z = F \sin I$ et $H = F \cos I$, où F, Z et H sont les valeurs du champ et de ses composantes à l'instant où I a été mesuré.

Pour déterminer les valeurs absolues de X et Y, dans le cas des observatoires qui

geographical components of the field, a correction must be calculated to reduce H to the time of the D observations, as X and Y are functions of both H and D. This correction is the change in H between the times of the D and I observations, given by

$$H = (X_D - X_I) \cos D + (Y_D - Y_I) \sin D,$$

where X_D , X_I , Y_D , Y_I are the AMOS values recorded at the times of the absolute determinations, or the Ruska trace ordinates measured for these times.

The AMOS X,Y,Z baselines are calculated from the following formulae:

$$\begin{aligned} \text{X baseline} = \\ (F_I \cos I + \Delta H) \cos D - \text{corrected X (AMOS)}_D \end{aligned}$$

$$\begin{aligned} \text{Y baseline} = \\ (F_I \cos I + \Delta H) \sin D - \text{corrected Y (AMOS)}_D \end{aligned}$$

$$\begin{aligned} \text{Z baseline} = \\ F_I \sin I - \text{corrected Z (AMOS)}_I \end{aligned}$$

where F_I is the value of F at the time of the I absolute measurement; corrected $X(\text{AMOS})_D$ and corrected $Y(\text{AMOS})_D$ are the values of X and Y read from AMOS at the time of the D absolute measurement, reduced to the PPM pier by multiplication with the ratio F/F^* determined for this time. Similarly, corrected $Z(\text{AMOS})_I$ is the Z AMOS value at the time of the I measurement multiplied by F/F^* .

QUALITY OF DATA

Accuracy of data

Assuming uncertainties equivalent to 3 nT in D and I^{11} , and 1 nT in F, in the absolute measurements, the uncertainty in the final reduced AMOS (X,Y) values is expected to be less than 5 nT. At Canadian observatories, where the inclination is large ($>70^\circ$), multiplication by F/F^* provides an effective absolute control of the AMOS Z component, with an uncertainty of 3 nT.

Quality control of digital data

Since January 1974 mean hourly values for 10 of the 11 observatories in the Canadian

enregistrent les composantes du champ dans le système de coordonnées géographiques, il faut effectuer une correction pour ramener H à l'instant où D a été mesuré, car X et Y sont fonction à la fois de H et D. Cette correction est égale à la variation de H entre les instants où D et I ont été mesurés; elle est donnée par l'équation:

$$H = (X_D - X_I) \cos D + (Y_D - Y_I) \sin D,$$

où X_D , X_I , Y_D et Y_I sont les valeurs AMOS enregistrées à l'instant des mesures absolues de D et I, ou les ordonnées des courbes Ruska correspondant à ces mêmes instants.

On calcule les lignes de base X, Y, Z AMOS à l'aide des équations suivantes:

$$\begin{aligned} \text{ligne de base X=} \\ (F_I \cos I + \Delta H) \cos D - X(\text{AMOS})_D \text{ cor.} \end{aligned}$$

$$\begin{aligned} \text{ligne de base Y=} \\ (F_I \cos I + \Delta H) \sin D - Y(\text{AMOS})_D \text{ cor.} \end{aligned}$$

$$\begin{aligned} \text{ligne de base Z=} \\ F_I \sin I - Z(\text{AMOS})_I \text{ cor.} \end{aligned}$$

où F_I est la valeur de F à l'instant de la mesure absolue de I, $X(\text{AMOS})_D \text{ cor.}$ et $Y(\text{AMOS})_D \text{ cor.}$ sont les valeurs de X et Y lues sur l'enregistrement AMOS à l'instant de la mesure absolue de D, ramenées au piler de référence du magnétomètre à précession de protons en les multipliant par le facteur F/F^* calculé pour cet instant. De même, $Z(\text{AMOS})_I \text{ cor.}$ est la valeur de Z donnée par l'appareil AMOS à l'instant de la mesure de I, multipliée par F/F^* .

QUALITE DES DONNEES

Précision des données

En supposant des erreurs équivalentes à 3 nT pour D et I^{11} et à 1 nT pour F pour les mesures absolues, l'incertitude pour les valeurs réduites définitives AMOS (X et Y) devrait être inférieure à 5 nT. En ce qui concerne les observatoires canadiens, où l'inclinaison est importante (plus de 70°), la multiplication par F/F^* donne un moyen efficace pour contrôler la valeur absolue de la composante Z obtenue par le système AMOS, avec une incertitude de 3 nT.

Contrôle de la qualité des données numériques

Depuis janvier 1974, les valeurs moyennes horaires pour 10 des 11 observatoires du

network have been derived from edited one-minute digital data and the development of effective quality controls for observatory digital data is extremely important. Several automatic checks are incorporated in the initial computer edit programs: changes in field over one minute which exceed 1200 nT at northern stations and 500 nT at southern stations are removed as data spikes; short records without a reliable time reference are eliminated. Beginning 1979, digital data are routinely plotted for all observatories. These plots provide a necessary check for timing errors and data spikes, and for small changes in level over short periods of time which are usually attributable to malfunctioning of the digital voltmeter.

DATA DISTRIBUTION

Microfilm copies of standard-run photographic magnetograms, or of computer plots of one-minute AMOS data in Ruska magnetogram format, with provisional baselines and scale values, are supplied to World Data Centre A, Boulder, Colorado, on a monthly basis. Copies of magnetograms may be obtained from the Division of Seismology and Geomagnetism or from

World Data Centre A, Geomagnetism
NOAA
Boulder, Colorado 80302
U.S.A.

The mean hourly values for Alert and Mould Bay were scaled manually; values were punched on cards and the tables were calculated by computer. All values were rounded off to the nearest nT.

Mean hourly values for all other observatories were derived from the one-minute digital data. Values have not been calculated for hours in which five or more consecutive minute values were missing. Interpolations for missing data were made from Ruska magnetograms at Resolute Bay, Meanook, Victoria and Ottawa, and from stand-by fluxgate charts at the

réseau canadien sont calculées à partir des données numériques relevées, enregistrées et mises en forme pour chaque minute. Il était donc de la plus haute importance de mettre au point un système efficace de contrôle de la qualité des données numériques fournies par les observatoires. Divers tests préliminaires sont incorporés dans le programme de traitement des données par ordinateur: les variations d'intensité du champ dépassant 1200 nT d'une minute à l'autre pour les stations polaires et aurorales et 500 nT pour les stations subaurorales sont éliminées des données enregistrées; les sections d'enregistrements sans référence de temps sûre sont également éliminées. Depuis 1979, on trace les courbes à partir des données numériques relevées dans tous les observatoires. Ces tracés permettent de vérifier les erreurs de temps et les bruits transitoires dans les données, de même que les petites variations de niveau de courte durée qui peuvent généralement être attribuées au mauvais fonctionnement du voltmètre numérique.

DISTRIBUTION DES DONNEES

Les copies sur microfilm des magnétogrammes photographiques standard, ou des tracés par ordinateur de données AMOS enregistrées à des intervalles d'une minute sous forme de magnétogramme Ruska, avec l'indication des valeurs provisoires des lignes de base et des échelles, sont envoyées chaque mois au WDC A, à Boulder au Colorado. Pour obtenir des copies de magnétogrammes, il faut s'adresser soit à la Division de la séismologie et du géomagnétisme soit au

World Data Centre A, Geomagnetism
NOAA
Boulder, Colorado 80302
U.S.A.

Les valeurs moyennes horaires pour Alert et Mould Bay ont été mesurées à la main; les valeurs ont été perforées sur cartes et les tables de valeurs calculées par ordinateur. Toutes les valeurs ont été arrondies à l'unité la plus proche en nanoteslas.

Pour tous les autres observatoires, les valeurs moyennes horaires ont été calculées à partir des données numériques enregistrées de minute en minute. Pour les heures où les données numériques manquaient pendant cinq minutes consécutives ou plus, aucune valeur moyenne horaire n'a été calculée. En ce cas, les données manquantes ont été interpolées à l'aide des magnétogrammes Ruska à Resolute

other observatories.

Copies of mean hourly value and hourly range (R) tables may be obtained from World Data Centre A or from the Division of Seismology and Geomagnetism.

In addition to microfilm copies of magnetograms and hourly means tables, a magnetic tape of AMOS data for each station-year is sent to World Data Centre A. Each tape consists of the XYZ one-minute values, hourly means in IAGA format, and hourly ranges for one year for each station. The ranges are computed automatically from the AMOS data if no minute values are missing in the hour. If one or more minute values are missing, hourly range information must be interpolated from a back-up analogue record. These interpolations have not been made for the K-stations, Ottawa, Meanook and Victoria.

On microfilm the tables for each observatory are arranged as follows:

- Tables 1-36: Mean values of the three recorded elements for each hour of the day, and daily and monthly means for all days and for the international quiet and disturbed days;
- Tables 37-45: Summary by month, season, and year of mean hourly values of the three elements for all days and for the international quiet and disturbed days;
- Table 46: For the observatories reporting K-indices (Victoria, Meanook, Ottawa, St. John's), 3-hourly indices in each component and K-indices.
- Tables 46-69: For the northern observatories, hourly ranges in 10-gamma units in the two horizontal components (R-Indices).

Bay, Meanook, Victoria et Ottawa, et à l'aide des enregistrements des appareils fluxgate de réserve aux autres observatoires.

On peut se procurer des exemplaires des tables donnant les valeurs moyennes horaires et les indices horaires R en s'adressant au WDC A ou à la Division de la sismologie et du géomagnétisme.

Outre les copies sur microfilms des magnétogrammes et des tableaux des valeurs moyennes horaires, une bande magnétique des données AMOS pour chaque année-station est envoyée au WDC A. Chaque bande comprend les valeurs XYZ, enregistrées chaque minute, les valeurs moyennes horaires dans le format AIGA et les indices horaires R. Les indices R sont calculées automatiquement à partir des données AMOS, à condition qu'aucune valeur ne manque pour cette heure. S'il manque une valeur ou plusieurs, l'indice horaire doit être estimé par interpolation, à l'aide de l'enregistrement analogue d'un appareil de réserve. On n'a pas fait les interpolations pour les K-stations d'Ottawa, Meanook et Victoria.

Sur le microfilm, les tableaux correspondant à chaque observatoire sont disposés comme suit:

- Tableaux 1-36 Valeurs moyennes des trois éléments enregistrés pour chaque heure du jour, et moyennes diurnes et mensuelles pour tous les jours, pour les jours calmes internationaux et pour les jours perturbés internationaux.
- Tableaux 37-45 Résumé par mois, saison et année des valeurs moyennes horaires des trois éléments pour tous les jours, pour les jours calmes internationaux et pour les jours perturbés internationaux.
- Tableau 46 Pour les observatoires qui communiquent les indices K (Victoria, Meanook, Ottawa, Saint-Jean (T.-N.)), indices trihoraires pour chaque composante et indices K.
- Tableaux 46-69 Pour les observatoires polaires et auroraux, indices horaires R en dizaines de nanotesla pour les deux composantes horizontales.

Beginning with 1973 the following tables are included, if available:

Tables 70-75: Summary by month, season, and year of mean hourly ranges of the horizontal components (X and Y) for all days and for the international quiet and disturbed days;

Tables 76-87: Hourly ranges in 10-gamma units in the vertical component (Z);

Tables 88-90: Summary by month, season and year of mean hourly ranges in the vertical component (Z) for all days and for the international quiet and disturbed days.

All times on the tables are universal time (UT).

K indices are sent twice a month from Meanook and Ottawa observatories to De Bilt, Netherlands, and Gottingen, Germany, for use in preparation of K_p indices published by the International Association of Geomagnetism and Aeronomy (IAGA). K indices from Victoria and Ottawa contribute to the formulation of the index K_n. In addition, K indices for St. John's observatory, measured from computer plots of the one-minute digital data, are forwarded on a regular basis to IAGA.

The lower limit, in nT, for K=9 is:

1500 for Meanook
500 for Victoria
750 for Ottawa
750 for St. John's

Magnetograms for these observatories are read each month for magnetic events and the results forwarded to the appropriate IAGA Commission.

The Z mean hourly values for Resolute Bay were made available on a daily basis (except for Saturday and Sunday) for transmission on request to IZMIRAN, Moscow, to assist in the development of an interplanetary magnetic field index being undertaken by IZMIRAN for IAGA (Resolution 18, IAGA, Moscow 1971).

Depuis 1973, les tableaux suivants sont donnés, dans la mesure du possible:

Tableaux 70-75 Résumé par mois, saison et année des indices horaires moyens des composantes horizontales (X et Y) pour tous les jours, pour les jours calmes internationaux et pour les jours perturbés internationaux.

Tableaux 76-87 Amplitudes horaires de la composante verticale (Z) en dizaines de nanoteslas.

Tableaux 88-90 Résumé par mois, saison et année des indices horaires moyens de la composante verticale (Z) pour tous les jours, pour les jours calmes internationaux et pour les jours perturbés internationaux.

Dans ces tableaux, tous les temps sont donnés au temps universel (T.U.).

Les indices K des observatoires de Meanook et d'Ottawa sont envoyés deux fois par mois à DeBilt aux Pays-Bas et à Gottingen en Allemagne pour le calcul des indices K_p publiées par l'Association internationale de géomagnétisme et d'aéronomie (AIGA). Les indices K de Victoria et d'Ottawa servent au calcul des indices K_n. En outre, les indices K de l'observatoire de Saint-Jean (T.-N.), qui sont mesurés à partir de graphiques dérivés des données numériques de minute en minute, sont envoyés régulièrement à l'AIGA.

La limite inférieure pour K = 9, exprimée en nT, est:

1500 pour Meanook,
500 pour Victoria,
750 pour Ottawa,
750 pour Saint-Jean (T.-N.).

Les magnétogrammes correspondant à ces observatoires sont dépouillés chaque mois pour y identifier les événements magnétiques, et les résultats de ce dépouillement sont envoyés à la commission de l'AIGA qui est chargée de les interpréter.

Les valeurs moyennes horaires de la composante Z de Resolute Bay sont fournies sur demande à IZMIRAN Moscou chaque jour (à l'exception du samedi et du dimanche). Ces données contribuent à l'élaboration d'un répertoire du champ magnétique interplanétaire entrepris par IZMIRAN pour l'AIGA (la Résolution 18, AIGA, Moscou, 1971).

SECTION II

STATION DESCRIPTIONS

For each observatory, a brief description of the site is provided. A summary of significant instrument exchanges or modifications during 1980 is given. Unusual procedures used in the data processing are noted, along with times during which secondary digital data were inserted into the master file.

Similar summaries are given for the variation stations, Whiteshell and Alert.

The mailing address for all stations is:

Division of Seismology and
Geomagnetism
Earth Physics Branch
Energy, Mines and Resources Canada
Ottawa, Canada
K1A 0Y3

For the following stations, the full-scale range of the strip-chart was 5000 nT, equivalent to 20 nT/mm, with automatic switching to half-sensitivity at times of large magnetic disturbance:

Alert
Mould Bay
Resolute
Cambridge Bay
Baker Lake
Yellowknife
Fort Churchill
Great Whale River
Meanook

At St. John's and Whiteshell, the full-scale range was 2500 nT, and at Ottawa and Victoria the range was 1000 nT, all with automatic switching to half-sensitivity.

DEUXIEME PARTIE

DESCRIPTIONS DES STATIONS

Pour chaque observatoire, une description brève du site est fournie. Un résumé des échanges et des modifications importantes des instruments qu'on a fait pendant 1980 est donné. Les méthodes exceptionnelles utilisées dans la réduction des données sont notées, avec les périodes pendant lesquelles les données secondaires numériques ont été ajoutées dans le fichier principal.

Les résumés similaires sont fournis pour les stations d'enregistrement des variations, celles de Whiteshell et d'Alert.

L'adresse postale de toutes les stations est:

Division de la séismologie et
du géomagnétisme
Direction de la physique du globe
Energie, Mines et Ressources Canada
Ottawa, Canada
K1A 0Y3

Pour les stations suivantes, la sensibilité de l'enregistreur sur papier, sur toute la largeur de la bande d'enregistrement, a été portée de 5000 nT, soit l'équivalent de 20 nT/mm; elle est automatiquement réduite de moitié en période de grande perturbation magnétique:

Alert
Mould Bay
Resolute
Cambridge Bay
Baker Lake
Yellowknife
Fort Churchill
Grande Rivière de la Baleine
Meanook

A St-Jean et à Whiteshell, la sensibilité sur toute la largeur de la bande d'enregistrement a été portée de 2500 nT, et à Ottawa et à Victoria, la sensibilité a été portée de 1000 nT. A toutes les stations, la sensibilité est automatiquement réduite de moitié.

RESOLUTE BAY

Resolute, Cornwallis Island, N.W.T.

Officer-in-charge: R. Alexander 1976,5-

OBSERVATORY SITE

The area consists of Paleozoic limestone. Magnetic field intensity gradients are extremely small: a survey of the area has indicated a very low gradient in total field intensity with no natural anomaly greater than 50 nT within 1.5 km of the observatory.

INSTRUMENTATION

The following instrument changes occurred in 1980

29 February: DVM exchange
 6 April: DVM exchange
 17 June: DVM exchange
 29 July: DVM exchange
 11 September: AMOS clock exchange
 9 November: DVM exchange

REDUCTION OF DATA

Final corrections to be applied to the digital magnetogram plots submitted on microfilm to WDC A are listed in Tables 1 to 3.

Secondary digital data were inserted into the master minute value file for the following periods:

February 1(0010) - 29(2350)
 March 27(0001) - 31(2400)
 April 1(0001) - 12(2400)
 June 7(0001) - 30(2400)
 July 1(0001) - 29(1800)
 November 1(0001) - 10(2400)
 29(0001) - 30(2400)
 December 1(0001) - 3(1750)

AMOS F values were added to the secondary data during the periods in February and 10 July to 29 July in order to adjust the data by using the correction factor

$$F/(X^2 + Y^2 + Z^2)^{1/2}$$

RESOLUTE BAY

Resolute, dans l'île Cornwallis (T.N.-0)

Agent responsable: R. Alexander 1976,5-

SITE DE L'OBSERVATOIRE

Les terrains de la région sont constitués de calcaires datant du Paléozoïque. Les gradients d'intensité du champ magnétique sont extrêmement faibles: l'étude géophysique de la région a montré en effet que le gradient latéral de l'intensité du champ total était très faible, aucune anomalie de plus de 50 nT n'ayant été observée dans un rayon de 1,5 km autour de l'observatoire.

APPAREILS

On a procédé aux changements suivants en 1980:

29 février: changement du voltmètre numérique (DVM)
 6 avril: changement du DVM
 17 juin: changement du DVM
 29 juillet: changement du DVM
 11 septembre: changement du chronomètre AMOS
 9 novembre: changement du DVM

REDUCTION DES DONNEES

Les tableaux 1 à 3 donnent les listes des corrections finales qui doivent s'appliquer aux magnétogrammes numériques. Celles-ci sont envoyées en forme de microfilm au WDC A.

Les données numériques secondaires ont été ajoutées au fichier principal pour les périodes suivantes:

Février 1(0010) - 29(2350)
 Mars 27(0001) - 31(2400)
 Avril 1(0001) - 12(2400)
 Juin 7(0001) - 30(2400)
 Juillet 1(0001) - 29(1800)
 Novembre 1(0001) - 10(2400)
 29(0001) - 30(2400)
 Décembre 1(0001) - 3(1750)

Les valeurs F AMOS ont été ajoutées aux données secondaires pendant les périodes en février et du 10 juillet au 29 juillet afin de corriger les données par application du facteur de correction

$$F/(X^2 + Y^2 + Z^2)^{1/2}$$

Table 1

Resolute Bay 1980

X

BASELINES nT				BASELINES nT					
LIGNES DE BASE nT				LIGNES DE BASE nT					
ADOPTED ADOPTEE			OBSERVED OBSERVEE		ADOPTED ADOPTEE			OBSERVED OBSERVEE	
Jan	1-31	-16	Jan 10	-16	July	1-31	-15-(-26)	July 6	-41
jan			jan 13	-18	juil			juil 11	-18
			15	-16				15	-2
			21	-17				18	-25
			24	-17				21	-22
			26	-18				27	-45
			28	-18				29	-98
			30	-19				31	-25
Feb	1-12	-18-6	Feb 2	-15	Aug	1-31	-17	Aug 4	-17
fev	13-23	6-(-10)	fev 5	-9	aout			aout 11	-15
	24-29	-84	8	2				15	-18
			11	5				20	-19
			14	5				22	-19
			18	3				25	-17
			25	-84				31	-17
Mar	1-31	-19	Mar 3	-21	Sept	1-30	-20	Sept 5	-19
mars			mars 6	-18	sept			sept 9	-20
			10	-18				12	-20
			13	-20				16	-22
			17	-20				19	-20
			20	-16				22	-21
			24	-18				26	-23
			27	-5				29	-26
Apr	1-30	-17	Apr 7	-18	Oct	1-31	-22-(-13)	Oct 6	-23
avr			avr 10	-22	oct			oct 17	-18
			14	-18				20	-18
			17	-16				29	-16
			27	-17				31	-10
			30	-16					
May	1-31	-16-(-10)	May 5	-18	Nov	1-10	-34	Nov 3	-32
mai			mai 8	-12	nov	11-28	no data	nov 4	-36
			16	-16		29-30	-27		
			20	-13					
			24	-11	Dec	1-3	-27	Dec 10	-16
			27	-11	dec	4-31	-14	dec 13	-15
			30	-8				16	-18
								25	-13
June	1-30	-9	June 2	-9				29	-14
juin			juin 5	-8				31	-14
			10	-38					
			12	21					
			17	-7					
			20	6					
			25	-17					
			30	-6					

Table 2

Resolute Bay 1980

Y

BASELINES nT				BASELINES nT							
LIGNES DE BASE nT				LIGNES DE BASE nT							
ADOPTED ADOPTEE			OBSERVED OBSERVEE		ADOPTED ADOPTEE			OBSERVED OBSERVEE			
Jan	1-31	21	Jan	10	20	July	1-29	22-0	July	6	16
jan			jan	13	21	juil	30-31	17	juil	11	16
				15	21					15	8
				21	22					18	8
				24	22					21	3
				26	21					27	4
				28	23					29	-2
				30	22					31	17
Feb	1-23	23	Feb	2	23	Aug	1-31	15	Aug	4	17
fev	24-29	104	fev	5	25	aout			aout	11	12
				8	24					15	15
				11	22					20	15
				14	24					25	14
				18	24					31	15
				21	24						
				25	104 ± 20	Sept	1-30	13	Sept	5	14
						sept			sept	9	14
Mar	1-31	20-30	Mar	3	19					12	13
mars			mars	6	22					16	13
				10	22					19	11
				13	21					22	12
				17	23					26	11
				20	27					29	15
				24	28						
				27	28	Oct	1-31	11	Oct	6	10
						oct			oct	17	14
Apr	1-30	32	Apr	7	37					20	11
avr			avr	10	37					29	16
				14	28					31	-4
				17	32						
				27	31	Nov	1-10	18	Nov	3	15
				30	31	nov	11-28	no data	dec	4	20
							29-30	73			
May	1-31	34	May	5	33	Dec	1-3	73	Dec	10	18
mai			mai	8	34	dec	4-31	20	dec	13	17
				16	41					16	21
				20	34					25	23
				24	35					29	23
				27	35					31	19
				30	34						
June	1-6	34	June	5	33						
juin	7-30	40- -8	juin	2	36						
				10	34						
				12	57						
				17	23						
				20	19						
				25	-2						
				30	24						

Table 3

Resolute Bay

1980

Z

BASELINES nT				BASELINES nT					
LIGNES DE BASE nT				LIGNES DE BASE nT					
ADOPTED ADOPTÉE			OBSERVED OBSERVEE		ADOPTED ADOPTÉE			OBSERVED OBSERVEE	
Jan 1-31	2		Jan 10	1	July 1-31	0	July 6	-6	
jan			jan 13	2	juil		juil 11	0	
			15	3			15	1	
			21	0			18	0	
			24	1			21	0	
			26	0			27	2	
			28	4			29	67	
			30	1			31	0	
Feb 1-29	0		Feb 2	0	Aug 1-31	0	Aug 4	1	
fev			fev 5	1	aout		aout 11	0	
			8	0			15	0	
			11	1			20	0	
			14	1			22	0	
			18	0			25	1	
			21	0			31	1	
			25	-2					
Mar 1-31	0		Mar 3	0	Sept 1-30	0	Sept 5	3	
mars			mars 6	0	sept		sept 9	1	
			10	-1			12	0	
			13	1			16	0	
			17	1			19	0	
			20	-3			22	0	
			24	0			26	2	
			27	-10			29	-1	
Apr 1-30	0		Apr 7	-96	Oct 1-31	2	Oct 6	0	
avr			avr 10	-101	oct		oct 17	4	
			14	0			20	1	
			17	0			29	4	
			27	1			31	0	
			30	0					
May 1-31	1		May 5	1	Nov 1-10	-48	Nov 3	-49	
mai			mai 8	1	nov 11-28	no data	nov 4	-48	
			16	4	29-30	- 6			
			20	0					
			24	3					
			27	0					
			30	1					
June 1-8	2		June 2	5	Dec 1-3	-6	Dec 10	1	
juin 9-30	-24		juin 5	-1	dec 4-31	1	dec 13	1	
			10	-24			16	1	
			12	-21			25	1	
			17	-20			29	1	
			20	-24			31	1	
			25	-20					
			30	-29					

MOULD BAY

Mould Bay, Prince Patrick Island, N.W.T.

Officer-in-charge: R. McCallum 1977.5-1980.4
R. Alexander 1980.4-1980.5
A. Daveluy 1980.5-

OBSERVATORY SITE

The station is in a permafrost area and is underlain by sandstones, siltstones and shales of the Devonian Melville Island formation. Using a Varian portable proton precession magnetometer, small magnetic field intensity gradients of the order of a few nanoteslas in 30 m were found to exist at the site. The magnetic-seismic observatory is north of the weather station and about 70 m from the nearest building.

INSTRUMENTATION

An IMS recorder providing on magnetic tape 10-second samples of the magnetic variations has been in operation since April, 1980. A DATEL data-logger⁸ providing 1-minute samples of the magnetic variations became operative in June, 1980.

REDUCTION OF DATA

Baseline values and sensitivities to be applied to the Ruska magnetograms submitted on microfilm to WDC A are listed in Tables 4 to 6.

Temperature coefficients and parallax corrections for use with the Ruska magnetograms were not checked in 1980 but are believed to be unchanged from those reported in 1976 and 1979.

The hourly mean values and hourly ranges were scaled from the Ruska magnetograms for the period 1 January 1980 to 30 June 1980. Since 1 July 1980, the hourly mean values and hourly ranges have been derived from reduced minute values recorded on the DATEL data-logger.

MOULD BAY

Mould Bay, dans l'île Prince-Partick (T.N.-0).

Agent responsable: R. McCallum 1977.5-1980.4
R. Alexander 1980.4-1980.5
A. Daveluy 1980.5-

SITE DE L'OBSERVATOIRE

L'observatoire se trouve dans une région de pergélisol dont le sous-sol est constitué de grès, d'aleurolite et de schiste argileux appartenant à la formation Melville Island (Dévonien). A l'aide d'un magnétomètre à précession de protons portatif du type Varian, on a pu détecter la présence de faibles gradients d'induction magnétique de l'ordre de quelques nanoteslas par 30 m. L'observatoire magnétique-séismique est situé au nord de la station météorologique et à environ 70 m du bâtiment le plus proche.

APPAREILS

Un enregistreur IMS qui donne les échantillons de champs magnétique à des intervalles de dix secondes sur bande magnétique a été en service depuis avril 1980. Un enregistreur automatique DATEL qui donne des échantillons de champs magnétique à des intervalles d'une minute est devenu en rigueur à partir du mois de juin 1980.

REDUCTION DES DONNEES

Les tableaux 4 à 6 donnent les listes des valeurs des lignes de base et des valeurs d'échelle qui doivent s'appliquer aux magnétogrammes Ruska. Celles-ci sont envoyées en forme de microfilm au WDC A.

Les coefficients de température et les corrections de parallaxe à utiliser avec les magnétogrammes Ruska n'ont pas été vérifiés en 1980, mais on suppose que ceux-ci sont les mêmes que ceux qui avaient été déterminés en 1976 et 1979.

Les valeurs moyennes horaire et les amplitudes ont été mesurées des magnétogrammes Ruska pour la période du 1^{er} janvier 1980 au 30 juin 1980. Depuis le 1^{er} juillet 1980 les valeurs moyennes horaires et les amplitudes horaires ont été calculées à partir des données réduites d'enregistreur automatique DATEL.

BASELINES nT				SCALE VALUES nT/mm			
LIGNES DE BASE nT				VALEUR D'ECHELLE nT/mm			
ADOPTED ADOPTÉE		OBSERVED OBSERVEE		ADOPTED ADOPTÉE		OBSERVED OBSERVEE	
Jan	1126-1133	Jan 18	1129	Jan	12.5	Jan 18	12.49
jan		jan 31	1132	jan		jan 31	12.45
Feb	1133	Feb 23	1133	Feb	12.5	Feb 23	12.49
fev		fev		fev		fev	
Mar	1133	Mar 12	1130	Mar 1-15	12.5	Mar 12	12.45
mars		mars 30	1134	mars 16-31	12.45	mars 30	12.41
Apr	1133	Apr 17	1133	Apr	12.45	Apr 17	12.44
avr		avr 26	1135	avr		avr 26	12.44
May 1-14	1133	May 14	1133	May	12.4	May 14	12.39
mai 15-31	1133-1142	mai 19	1134	mai		mai 24	12.41
		24	1139			31	12.43
		31	1142				
June 1- 8(0625)		June 9	1141	June	12.4	June 8	12.49
1142-1147		juin 13	1144	juin		juin 22	12.31
juin 8(0626)-31		16	1150				
1143-1156		20	1157				
		23	1156				
		30	1158				
July 1-15 1158		July 7	1159	July	12.4	July	
juil 16-31 1158-1153		juil 11	1152	juil		juil	
		14	1159				
		19	1161				
		21	1159				
		28	1149				
Aug 1-16 1153 1149		Aug 4	1152	Aug 1-15	12.4	Aug 24	12.29
aout 17-31 1149		aout 8	1144	aout 16-31	12.35	aout	
		11	1154				
		15	1152				
		18	1146				
		22	1142				
		25	1149				
Sept 1-15 1148		Sept 1	1149	Sept 1-15	12.35	Sept 4	12.31
sept 16-30 1148-1140		sept 6	1153	sept 16-30	12.4	sept 23	12.4
		9	1151				
		13	1149				
		15	1148				
		19	1148				
		22	1148				
		27	1143				
		30	1143				

BASELINES nT LIGNES DE BASE nT		SCALE VALUES nT/mm VALEUR D'ECHELLE nT/mm	
ADOPTED ADOPTÉE	OBSERVED OBSERVEE	ADOPTED ADOPTÉE	OBSERVED OBSERVEE
Oct 1-10 1140-1136	Oct 6 1135	Oct 12.4	Oct 15 12.35
oct 11-25 1136	oct 10 1135		oct 26 12.42
26-31 1136-1130	14 1136		
	18 1138		
	21 1135		
	24 1135		
	28 1134		
Nov 1-23 1130-1119	Nov 7 1125	Nov 12.4	Nov 23 12.40
nov 24-30 1119	nov 11 1123		nov
	14 1123		
	18 1120		
	23 1117		
	25 1116		
	28 1121		
Dec	Dec 3 1120	Dec 12.4	Dec 5 12.47
déc 1-5(0352) 1119	déc 5 1124		déc
déc 5(0353)-31 1113	10 1111		
	13 1114		
	15 1110		
	19 1112		
	24 1117		
	27 1114		
	30 1112		

Table 5

Mould Bay 1980

Y

BASELINES nT				SCALE VALUES nT/mm			
LIGNES DE BASE nT				VALEUR D'ECHELLE nT/mm			
ADOPTED ADOPTÉE		OBSERVED OBSERVEE		ADOPTED ADOPTÉE		OBSERVED OBSERVEE	
Jan jan	2093-2103	Jan 18 jan 31	2099 2103	Jan jan	12.8	Jan jan	
Feb fev	2103-2112	Feb 23 fev 23	2111	Feb fev	12.8	Feb fev	23 12.78
Mar mars	2112	Mar 12 mars 30	2115 2111	Mar 1-15 mars 16-31	12.75 12.7	Mar mars	30 12.69
Apr avr	2111	Apr 17 avr 26	2110 2113	Apr avr	12.7	Apr avr	26 12.71
May mai	2111	May 14 mai 19 24 31	2110 2110 2111 2111	May mai	12.7	May mai	19 12.72
June juin		June 9 juin 13 16 20 23 30	2127 2127 2127 2129 2128 2133	June juin	12.7	June juin	8 12.66
	1-8(0625) 2111 8(0626)-31 2126-2132						
July juil	2130-2138	July 4 juil 7 11 14 19 21 28	2130 2134 2139 2135 2135 2136 2126	July juil	12.7	July juil	
Aug aout	2138-2144	Aug 4 aout 8 11 15 18 25	2139 2141 2134 2135 2137 2143	Aug aout	12.7	Aug aout	1 12.70
Sept sept	2144-2119	Sept 1 sept 6 9 13 15 19 22 27	2143 2137 2136 2132 2130 2129 2127 2126	Sept sept	12.7	Sept sept	23 12.72

Table 5

Mould Bay 1980

Y continued

BASELINES nT			SCALE VALUES nT/mm		
LIGNES DE BASE nT			VALEUR D'ECHELLE nT/mm		
ADOPTED ADOPTÉE		OBSERVED OBSERVEE	ADOPTED ADOPTÉE		OBSERVED OBSERVEE
Oct	2119-2092	Oct 6 2115	Oct	12.7	Oct 15 12.68
oct		oct 10 2110	oct		oct
		14 2110			
		18 2097			
		21 2094			
		24 2095			
		28 2089			
		31 2090			
Nov 1-23	2092-2084	Nov 11 2086	Nov	12.7	Nov
nov 24-30	2084	nov 14 2086	nov		nov
		18 2088			
		23 2085			
		25 2082			
		28 2083			
Dec	2084	Dec 3 2086	Dec	12.7	Dec 5 12.73
dec		dec 5 2086	dec		dec
		10 2085			
		13 2082			
		15 2081			
		19 2081			
		24 2082			
		27 2084			
		30 2085			

Table 6

Mould Bay 1980

Z

BASELINES nT		SCALE VALUES nT/mm	
LIGNES DE BASE nT		VALEUR D'ECHELLE nT/mm	
ADOPTED ADOPTÉE	OBSERVED OBSERVEE	ADOPTED ADOPTÉE	OBSERVED OBSERVEE
Jan 1-18 57879-57886 jan 19-31 57886	Jan 18 57886 jan 57886	Jan 11.5 jan	Jan 18 11.55 jan 31 11.55
Feb 57885 fév	Feb 23 57886 fév	Feb fév	Feb fév
Mar 1-15 57882 mars 16-31 57880	Mar 12 57880 mars30 57880	Mar 11.45 mars	Mar 12 11.45 mars
Apr 1-26(1240) avr 57880 26(1241)-30 57895	Apr 17 57880 avr 26 57880	Apr 1-26(1240) 11.45 avr 26(1241)-30 11.8	Apr 17 11.45 avr 26 11.44
May 1-16(0205) mai 57897 16(0206)-31 57902	May 14 57893 mai 19 57905 24 57904 31 57901	May 11.8 mai	May 24 11.84 mai 31 11.82
June 1-12 57902 juin 13-31 57901-57914	June 9 57901 juin13 57903 16 57903 20 57907 23 57908 26 57913 30 57913	June 11.8 juin	June 8 11.80 juin 22 11.80
July 57913 juil	July 4 57912 juil11 57914 14 57907 21 57914 28 57912	July 11.8 juil	July juil
Aug 1-1(0530) août 57913 1(0531)-31 57923-57915	Aug 4 57923 août 8 57923 11 57919 15 57916 18 57916 22 57918 25 57914	Aug 11.8-11.9 août	Aug 1 11.84 août 24 11.86
Sept 1-15 Sept 57915-57903 16-30 57903	Sept 1 57915 Sept 6 57910 9 57907 13 57903 15 57904 19 57906 22 57903 26 57902 30 57902	Sept 1-23 11.9-11.95 Sept 24-30 11.95-11.8	Sept 4 11.91 Sept 23 11.95
Oct 1-3 57903 oct 4-31 57903-57923	Oct 6 57904 oct 10 57908 14 57906 22 57903 27 57902 30 57902	Oct 1-15 11.8-11.5 oct 16-31 11.5	Oct 15 11.50 oct 26 11.50

Table 6

Mould Bay

1980

Z continued

BASELINES nT				SCALE VALUES nT/mm			
LIGNES DE BASE nT				VALEUR D'ECHELLE nT/mm			
ADOPTED ADOPTÉE		OBSERVED OBSERVEE		ADOPTED ADOPTÉE		OBSERVED OBSERVEE	
Nov nov		Nov nov		Nov nov		Nov nov	
1-3(0227)	57923	7	57919	1-23	11.5-12.05	23	12.3
3(0228)-5(0309)	57915	11	57917	24-30	12.05		
5(0310)-5(0601)	57927	14	57916				
5(0602)-9(0350)	57920	18	57917				
9(0351)-9(1010)	57985	23	57908				
9(1011)-30	57919-57910						
Dec déc		Dec déc		Dec dec		Dec dec	
1-4(0123)	57909	3	57908		12.05	5	12.03
4(0124)-29(1425)	57896	5	57894			27	12.05
29(1426)-29(2247)	57890	10	57896				
29(2248)-29(2352)	57896	13	57895				
29(2353)-30(2350)	57890	15	57894				
30(2351)-31(2400)	57896	19	57897				
		24	57898				
		27	57895				
		30	57896				

CAMBRIDGE BAY

Operated under contract by W.I.Z. T.V. and Stereo

OBSERVATORY SITE

The observatory is located on top of a 17 m hill at the centre of the site, of area 90,000 m², and is 180 m north of the coast. The area is one of metamorphosed sedimentary rocks of Ordovician and Silurian age. A total force survey of the immediate area in Sept. 1971 indicated no gradients greater than 3 nT in 10 m.

INSTRUMENTATION

The following instrument changes occurred in 1980

26 February: DVM exchange
 4 May: exchanged D and I instruments, Jena 187 replaces Jena 347
 13 May: exchanged D and I instruments, Jena 702 replaces Jena 187
 30 June: PPM counter exchange
 1 August: replace neon choppers in DVM
 19 November: replace neon choppers in DVM

REDUCTION OF DATA

Final corrections to be applied to the digital magnetogram plots submitted on microfilm to WDC A are listed in Tables 7 to 9.

Secondary digital data were inserted into the master minute value file for the following periods:

January	25(0001) - 31(2400)
February	1(0001) - 26(2400)
March	29(0001) - 31(2400)
April	1(0001) - 30(2400)
May	1(0001) - 6(2400)
June	25(0001) - 30(2400)
July	1(0001) - 31(2400)
	27(0001) - 31(2400)
August	1(0001) - 1(0119)
October	17(0001) - 31(2400)
November	1(0001) - 30(2400)
December	1(0001) - 2(2400)
	10(0001) - 31(2400)

CAMBRIDGE BAY

Observatoire exploité sous contrat par W.I.Z. T.V. and Stereo

SITE DE L'OBSERVATOIRE

L'observatoire est situé au sommet d'une colline de 17 m, au centre d'un site d'une superficie de 90 000 m², à 180 m au nord de la côte. Il se trouve dans une région de roches métamorphiques d'origine sédimentaire d'âge ordovicien et silurien. En septembre 1971, une étude de l'intensité du champ magnétique total dans la région entourant l'observatoire a montré qu'il n'existe pas de gradients supérieurs à 3 nT par 10 m.

APPAREILS

On a procédé aux changements suivants en 1980:

26 février: Changement du voltmètre numérique
 4 mai: Remplacement du Jena 347 servant à la mesure de D et I par le Jena 187
 13 mai: Remplacement du Jena 187 servant à la mesure de D et I par le Jena 702
 30 juin: Changement du compteur PPM
 1^{er} août: Remplacement des vibrateurs au néon d'un voltmètre numérique
 19 novembre: Remplacement des vibrateurs au néon d'un voltmètre numérique

REDUCTION DES DONNEES

Les tableaux 7 à 9 donnent les listes des corrections finales qui doivent s'appliquer aux magnétogrammes numériques. Celles-ci sont envoyées en forme de microfilm au WDC A.

Les données numériques secondaires ont été ajoutées au fichier principal pour les périodes suivantes:

Janvier	25(0001) - 31(2400)
Février	1(0001) - 26(2400)
Mars	29(0001) - 31(2400)
Avril	1(0001) - 30(2400)
Mai	1(0001) - 6(2400)
Juin	25(0001) - 30(2400)
Juillet	1(0001) - 31(2400)
	27(0001) - 31(2400)
Août	1(0001) - 1(0119)
Octobre	17(0001) - 31(2400)
Novembre	1(0001) - 30(2400)
Décembre	1(0001) - 2(2400)
	10(0001) - 31(2400)

AMOS F values were added to the secondary data during the periods in February and August in order to adjust the data by using the correction factor

$$F/(X^2 + Y^2 + X^2)^{1/2}$$

to make the secondary data compatible in stability to the AMOS data.

Les valeurs F AMOS ont été ajoutées aux données secondaires pendant les périodes en février et en août afin de corriger les données par application du facteur de correction

$$F/(X^2 + Y^2 + X^2)^{1/2}$$

rendant ainsi la stabilité des données secondaires compatible à celle des données AMOS.

Table 7

Cambridge Bay 1980

X

BASELINES nT LIGNES DE BASE nT			BASELINES nT LIGNES DE BASE nT								
ADOPTED ADOPTÉE			OBSERVED OBSERVEE			ADOPTED ADOPTÉE			OBSERVED OBSERVEE		
Jan	1-22	31	Jan	6	32						
jan	23-31	36-46	jan	16	32						
				22	31						
				27	50						
Feb	1-29	49	Feb	10	52						
fev			fev								
Mar	1-31	47-58	Mar	28	57						
mars			mars								
Apr	1-22	61-72	Apr	6	65						
avr	23-30	37	avr	19	55						
May	1-31	35-52	May	13	42						
mai			mai	16	40						
				19	51						
				29	52						
June	1-24	51-61	June	8	57						
juin	25-30	57	juin	23	59						
				30	57						
July	1-19	55-65	July	14	60						
juil	20-26	65-59	juil	20	66						
	27-31	34-25									
Aug	1-10	55-80	Aug	4	51						
aout	11-31	78-63	aout	10	89						
				24	62						
Sept	1-12	51-62	Sept	10	56						
sept	13-30	64-68	sept	14	69						
Oct	1-13	66-54	Oct	5	65						
oct	14-31	55-61	oct	13	56						
				19	63						
Nov	1-3	61	Nov	4	262						
nov	4-24	174-215	nov	30	47						
	25-30	56-49									
Dec	1-31	48	Dec	7	48						
dec			dec	14	49						

BASELINES nT			BASELINES nT								
LIGNES DE BASE nT			LIGNES DE BASE nT								
ADOPTED ADOPTÉE			OBSERVED OBSERVEE			ADOPTED ADOPTÉE			OBSERVED OBSERVEE		
Jan	1-13	26-29	Jan	6	26						
jan	14-31	29-18		16	29						
				22	24						
				27	17						
Feb	1-29	17	Feb	10	18						
fev			fev								
Mar	1-31	17-11	Mar	28	15						
mars			mars								
Apr	1-22	13-6	Apr	6	65						
avr	23-30	22-18	avr	19	15						
May	1-13	20-7	May	13	7						
mai	14-19	7-28	mai	16	12						
	20-31	21		19	26						
				29	20						
June	1-8	25-32	June	8	32						
juin	9-30	30-19	juin	23	22						
				30	19						
July	1-26	18-32	July	14	27						
juil	27-31	120-107	juil	20	33						
Aug	1-11	30-40	Aug	4	31						
aout	12-31	37	aout	10	41						
				24	36						
Sept	1-30	35-22	Sept	10	23						
sept			sept	14	17						
Oct	1-31	24-19	Oct	5	21						
oct			oct	13	18						
				19	23						
Nov	1-30	17-24	Nov	4	48						
nov			nov	30	24						
Dec	1-31	26	Dec	7	30						
dec			dec	14	24						

Table 9

Cambridge Bay

1980

Z

BASELINES nT			BASELINES nT		
LIGNES DE BASE nT			LIGNES DE BASE nT		
ADOPTED ADOPTÉE			OBSERVED OBSERVÉE		
ADOPTED ADOPTÉE			ADOPTED ADOPTÉE		OBSERVED OBSERVÉE
Jan	1-24	-3	Jan	6	-2
jan	25-31	-19-(-10)	jan	16	-2
				22	-1
				27	-17
Feb	1	-8	Feb	10	-2
fev	2-29	-3	fev		
Mar	1-28	-3	Mar	28	-3
mars	29-31	-7	mars		
Apr	1-22	-7-(-14)	Apr	6	-12
avr	23-30	91	avr	19	-7
May	1-6	88	May	13	-1
mai	7-31	-3	mai	16	-2
				19	-4
				29	-3
June	1-24	-3	June	8	-6
juin	25-30	83	juin	23	-1
				30	82
July	1	83	July	14	-2
juil	2-31	4	juil	20	4
Aug	1-31	4-(-4)	Aug	4	5
aout			aout	10	-6
				24	-3
Sept	1-30	-1-10	Sept	10	-2
sept			sept	14	-4
Oct	1-4	15	Oct	5	-4
oct	5-31	-4-(-21)	oct	19	-21
Nov	1-4	-20-(-35)	Nov	4	-35
nov	5-30	-10	nov	30	-9
Dec	1-15	-5	Dec	7	-2
dec	16-31	-19-(-27)	dec	14	-3

Operated under contract by Atmospheric
Environment ServiceExploité sous contrat par le Service de
l'environnement atmosphérique

OBSERVATORY SITE

The area is one of granitic rocks of the Precambrian Shield, situated on the north shore of Baker Lake, N.W.T.

SITE DE L'OBSERVATOIRE

L'observatoire se trouve dans une région de roches granitiques du Bouclier précambien, située au bord du nord de Baker Lake, T.N.-O.

INSTRUMENTATION

The following instrument changes occurred in 1980:

12 January: DVM exchange
6 May: DVM exchange
2 July: Datel exchange

15 September: new radio antenna

26 September: Datel exchange

APPAREILS

On a procédé aux changements suivants en 1980:

12 janvier: changement du DVM
6 mai: changement du DVM
2 juillet: changement d'enregistreur à cassette Datel

15 septembre: nouvelle antenne de la radio

26 septembre: changement d'enregistreur à cassette Datel

REDUCTION OF DATA

Final corrections to be applied to the digital magnetogram plots submitted on microfilm to WDC A are listed in Tables 10 to 12.

Secondary digital data were inserted into the master minute value file for the following periods:

January 1(0001) - 31(2400)
February 1(0001) - 2(2400)
March 1(0001) - 31(2400)
April 1(0001) - 30(2400)
May 1(0001) - 1(2400)
31(0001) - 31(2400)
June 1(0001) - 30(2400)
July 1(0001) - 1(2400)
December 23(0001) - 31(2400)

AMOS F values were added to the secondary data during January in order to adjust the data by using the correction factor

$$F/(X^2 + Y^2 + Z^2)^{1/2}$$

to make the secondary data compatible in stability to the AMOS data. Secondary data for the X and Y components were added to the AMOS data during the period 2 May to 7 May.

REDUCTION DES DONNES

Les tableaux 10 à 12 donnent les listes des corrections finales qui doivent s'appliquer aux magnétogrammes numériques. Celles-ci sont envoyées en forme de microfilm au WDC A.

Les données numériques secondaires ont été ajoutées au fichier principal pour les périodes suivantes:

Janvier 1(0001) - 31(2400)
Février 1(0001) - 2(2400)
Mars 1(0001) - 31(2400)
Avril 1(0001) - 30(2400)
Mai 1(0001) - 1(2400)
31(0001) - 31(2400)
Juin 1(0001) - 30(2400)
Juillet 1(0001) - 1(2400)
Décembre 23(0001) - 31(2400)

Les valeurs F AMOS ont été ajoutées aux données secondaires pendant janvier afin de corriger les données par application du facteur de correction

$$F/(X^2 + Y^2 + Z^2)^{1/2}$$

rendant ainsi la stabilité des données secondaires compatible à celle des données AMOS. Les données numériques secondaires pour les composantes X et Y ont été ajoutées aux données AMOS pour la période du 2 mai au 7 mai.

Table 10

Baker Lake

1980

X

BASELINES nT				BASELINES nT							
LIGNES DE BASE nT				LIGNES DE BASE nT							
ADOPTED ADOPTÉE			OBSERVED OBSERVÉE		ADOPTED ADOPTÉE			OBSERVED OBSERVÉE			
Jan	1-5	-6	Jan	9	598	Aug	1-31	10	Aug	8	4
jan	6-12	554-600	jan	13	-8	aout			aout	10	3
	13-14	-2		21	37					14	9
	15	584		26	28					19	11
	16-31	54-25		28	29					22	13
										26	8
										29	11
Feb	1	27	Feb	1	33	Sept	1-30	15-(-2)	Sept	6	12
fev	2-10	14-34	fev	5	31	sept			sept	11	9
	11-29	34-26		10	42					16	6
				14	30					20	3
				18	24					24	2
				26	8					28	-7
Mar	1-6	31-(-19)	Mar	6	-12	Oct	1-31	-3	Oct	1	-7
mars	7-16	29-23	mars	9	24	oct			oct	6	-1
	17-22	43-31		14	16					10	-4
	23-31	-70		21	38					17	1
				26	-68					21	-3
				30	-72					29	3
Apr	1-7	-69-(-94)	Apr	1	-61	Nov	1-30	-2-(23)	Nov	2	5
avr	8	-565	avr	5	-87	nov			nov	4	5
	9-30	80-64		8	54					10	10
				13	71					15	13
				17	76					19	17
				20	94					24	23
				25	71					26	24
May	1	60	May	6	36	Dec	1-22	25-18	Dec	5	22
mai	2-31	13-20	mai	11	16	dec	23-31	122	dec	10	26
				15	11					12	25
				20	19					16	26
				24	16					19	19
				27	15						
June	1-30	19-13	June	5	19						
juin			juin	19	40						
				20	-34(±21)						
				26	-1						
				29	-12						
July	1-31	6	July	3	14						
juil			juil	4	10						
				6	7						
				9	7						
				13	6						
				15	9						
				21	1						
				31	10						

Table 11

Baker Lake

1980

Y

BASELINES nT			BASELINES nT			BASELINES nT			BASELINES nT		
LIGNES DE BASE nT			LIGNES DE BASE nT			LIGNES DE BASE nT			LIGNES DE BASE nT		
ADOPTED ADOPTEE			OBSERVED OBSERVEE			ADOPTED ADOPTEE			OBSERVED OBSERVEE		
Jan	1-31	-4	Jan	9	-5	Aug	1-14	-27-(-9)	Aug	8	-19
jan			jan	13	-8	aout	15-31	-17-(-8)	aout	10	2
				21	9					14	-8
				26	3					19	-8
				28	-2					22	-11
										26	-7
										29	-7
Feb	1-10	-4-(-24)	Feb	1	-11	Sept	1-21	-9-(-29)	Sept	6	-10
fev	11-29	-21-(-10)	fev	5	-20	sept	22-30	-29-(-12)	sept	11	-14
				10	-43					16	-19
				14	-8					20	-25
				18	-15					24	-7
				20	-14					28	7
				26	-9						
Mar	1-31	-8-(-20)	Mar	6	-8	Oct	1-16	-10-0	Oct	1	-6
mars			mars	9	-12	oct	17-31	0-(-5)	oct	6	-3
				14	-1					16	-25
				21	-20					21	-7
				26	-19					24	-7
				30	-23					29	-1
Apr	1-11	-21-(-39)	Apr	1	-33	Nov	1-30	-4	Nov	2	14
avr	12-30	-39-(-21)	avr	5	-7	nov				4	-7
				5	-24					10	6
				13	-46					15	-6
				17	-40					19	-4
				20	-63					24	-5
				25	-30					26	8
May	1-31	-24	May	6	-23	Dec	1-22	-2-6	Dec	5	3
mai			mai	11	-22	déc	23-31	-67	déc	10	-3
				15	-26					12	10
				20	-20					16	-48
				24	-31					19	4
				27	-16						
June	1-18	-29-(-40)	June	5	-31						
juin	19-30	-40-(-24)	juin	19	-34						
				20	33						
				26	-20						
				29	-17						
July	1-31	-24-(-29)	July	3	-24						
juil			juil	4	-16						
				6	-20						
				9	-24						
				13	-34						
				15	-22						
				21	-33						
				31	-28						

Table 12

Baker Lake 1980

Z

BASELINES nT				BASELINES nT			
LIGNES DE BASE nT				LIGNES DE BASE nT			
ADOPTED		OBSERVED		ADOPTED		OBSERVED	
ADOPTEE		OBSERVEE		ADOPTEE		OBSERVEE	
Jan 1-17	-5-(-63)	Jan 9	-41	Aug 1-31	0	Aug 8	4
jan 18-31	-62-(-49)	jan 13	-53	aout		aout 10	1
		21	-49			14	0
		26	-73			19	1
		28	-48			22	-1
						26	-2
						29	0
Feb 1	-47	Feb 1	-50	Sept 1-30	0	Sept 6	-2
fev 2-29	-3	fev 5	-1	sept		sept 11	0
		10	-2			16	0
		14	-5			20	-1
		18	-1			24	2
		20	-2			28	0
		26	-3				
Mar 1-17	-3-30	Mar 6	-1	Oct 1-31	0	Oct 1	-1
mars 18-31	-47-(-65)	mars 9	-20	oct		oct 6	0
		14	-8			10	6
		21	-57			17	2
		26	-73			21	1
		30	-70			29	-1
Apr 1	-67	Apr 1	-71	Nov 1-30	-1	Nov 2	0
avr 2-30	-3	avr 5	-4	nov		nov 4	1
		8	-7			10	-2
		13	1			15	0
		17	-6			19	-3
		20	-8			24	-2
		25	-3			26	-2
		29	0				
May 1-31	-3	May 6	-106	Dec 1-22	-1	Dec 5	-4
mai		mai 11	0	dec 23-31	-25	dec 10	-1
		15	2			12	0
		20	-4			16	-3
		24	4			19	-2
		27	1				
June 1-30	-82	June 5	-56				
juin		juin 19	-41				
		20	140				
		26	-81				
		29	-90				
July 1	-82	July 3	-1				
juil 2-31	-1	juil 4	-1				
		6	-2				
		9	-2				
		13	-1				
		15	0				
		21	-1				
		31	-1				

YELLOWKNIFE B

YELLOWKNIFE B

Operated by Technical Staff of the Yellowknife Laboratory of the Division of Seismology and Geothermal Studies

Observatoire exploité par le personnel technique du laboratoire de Yellowknife de la Division de la séismologie et des études géothermiques

OBSERVATORY SITE

During IGY an observatory was in operation in Yellowknife A (July 1957 to August 1958) on a site about 2 km from the town¹². A new observatory, Yellowknife B was established in 1974 on a site approximately 6 km northwest of the IGY observatory. The site is underlain by Archean gneissic rocks.

The average total force gradient measured for the site was 5 nT/m, comparable to that observed previously at the IGY site.

INSTRUMENTATION

The following instrument changes occurred in 1980:

15 April: DVM exchange
17 September: DVM exchange

REDUCTION OF DATA

Final corrections to be applied to the digital magnetogram plots submitted on microfilm to WDC A are listed in Tables 13 to 15.

Secondary digital data were inserted into the master minute value file for the following periods:

April 10(2120) - 15(2400)
August 19(0001) - 31(2400)
September 1(0001) - 17(2400)

Secondary Z component data only were added to the master file for the periods

January 16(0001) - 26(2400)
February 1(2046) - 29(2400)
March 1(0001) - 31(2400)
April 1(0001) - 1(2150)

SITE DE L'OBSERVATOIRE

Durant l'Année géomagnétique internationale (AGI), un observatoire était en service à Yellowknife A (de juillet 1957 à août 1958) à environ 2 km de la ville¹². Malheureusement, cet emplacement n'est plus libre. Un nouvel observatoire, Yellowknife B, a été établi en 1974 sur un emplacement situé approximativement à 6 km au nord-ouest de l'observatoire AGI. L'emplacement est sis sur des roches composées de gneiss archéen.

Le gradient moyen de l'intensité du champ magnétique total mesuré sur cet emplacement, égal à 5 nT/m, est comparable à celui qui avait été observé auparavant à l'emplacement de l'AGI.

APPAREILS

On a procédé aux changements suivants en 1980:

15 avril: changement du voltmètre numérique
17 septembre: changement du voltmètre numérique

REDUCTION DES DONNES

Les tableaux 13 à 15 donnent les listes des corrections finales qui doivent s'appliquer aux magnétogrammes numériques. Celles-ci sont envoyées en forme de microfilm au WDC A.

Les données numériques secondaires ont été ajoutées au fichier principal pour les périodes suivantes:

Avril 10(2120) - 15(2400)
Août 19(0001) - 31(2400)
Septembre 1(0001) - 17(2400)

Les données numériques secondaires pour la composante Z ont été ajoutées au fichier principal pour les périodes:

Janvier 16(0001) - 26(2400)
Février 1(2046) - 29(2400)
Mars 1(0001) - 31(2400)
Avril 1(0001) - 1(2150)

For the period 1 April (2211) to April 10 (2120), the Z component was calculated using the relation:

$$Z = (F^2 - X^2 - Y^2)^{1/2}$$

For the period 12 September (1540) to 17 September (2400) no F values exist. AMOS F values were added to the rest of the secondary data in order to adjust the data by using the correction factor

$$F/(X^2 + Y^2 + Z^2)^{1/2}$$

to make the secondary data compatible in stability to the AMOS data.

La composante Z a été calculée pour la période allant du 1^{er} avril (2211) au 10 avril (2120) à l'aide de l'équation:

$$Z = (F^2 - X^2 - Y^2)^{1/2}$$

Il n'y a pas de valeurs F pour la période du 12 septembre (1540) au 17 septembre (2400). Les valeurs F AMOS ont été ajoutées au reste des données secondaires afin de corriger les données par application du facteur de correction

$$F/(X^2 + Y^2 + Z^2)^{1/2}$$

rendant ainsi la stabilité des données secondaires compatible à celle des données AMOS.

BASELINES nT				BASELINES nT			
LIGNES DE BASE nT				LIGNES DE BASE nT			
ADOPTED ADOPTÉE		OBSERVED OBSERVEE		ADOPTED ADOPTÉE		OBSERVED OBSERVEE	
Jan	1	-19	Jan	4	44	28	
jan			jan	11	74		
				18	55		
				28	70		
Feb	1-29	69-63	Feb	1	80		
fev			fev	8	79		
				15	55		
mar	1-31	65-58	mar	4	63		
mars			mars	14	51		
				21	55		
				28	63		
Apr	1-15	61-69	Apr	1	63		
avr	16-30	55-50	avr	10	68		
				21	62		
May	1-22	52-57	May	2	49		
mai	23-31	53	mai	23	53		
				30	51		
June	1-31	49	June	3	52		
juin			juin	20	55		
				27	54		
July	1-31	48-42	July	2	44		
juil			juil	11	51		
				21	37		
Aug	1-31	41-35	Aug	1	39		
aout			aout	8	45		
				15	41		
Sept	1-30	36-47					
sept							
Oct	1-31	50	Oct	3	58		
oct			oct	17	39		
				24	53		
				29	54		
Nov	1-30	53-60	Nov	27	48		
nov			nov				
Dec	1-31	58	Dec	4	78		
dec			dec	7	44		
				23	64		

Table 14

Yellowknife

1980

Y

BASELINES nT				BASELINES nT					
LIGNES DE BASE nT				LIGNES DE BASE nT					
ADOPTED ADOPTÉE			OBSERVED OBSERVEE		ADOPTED ADOPTÉE			OBSERVED OBSERVEE	
Jan	1	-42	Jan	4	-15				
jan	2-31	-19	jan	11	-14				
				18	-20				
				28	-11				
Feb	1-29	-17-(-8)	Feb	1	-20				
fev			fev	8	- 1				
				15	- 2				
Mar	1-31	-7-(-1)	Mar	4	- 7				
mars			mars	21	10				
				28	1				
Apr	1	-1	Apr	1	- 4				
avr	2-15	10-(-10)	avr	10	3				
	16-30	-1		21	0				
May	1-31	-4-3	May	2	- 2				
mai			mai	23	5				
				30	3				
June	1-30	4-(-18)	June	3	2				
juin			juin	20	-33				
				27	-17				
July	1-31	-18	July	2	-19				
juil			juil	11	-12				
				21	-11				
Aug	1-31	-16	Aug	1	-18				
aout			aout	8	-13				
				15	-13				
Sept	1-17	-18-(-23)							
sept	18-30	-11							
Oct	1-31	-10-(-4)	Oct	3	- 8				
oct				17	- 8				
				24	7				
				29	- 1				
Nov	1-30	- 3	Nov	27	- 1				
nov			nov						
Dec	1-31	-5-(-12)	Dec	4	-31				
dec			dec	7	- 3				
				23	- 6				

BASELINES nT				BASELINES nT			
LIGNES DE BASE nT				LIGNES DE BASE nT			
ADOPTED ADOPTÉE		OBSERVED OBSERVEE		ADOPTED ADOPTÉE		OBSERVED OBSERVEE	
Jan	1-15	-9	Jan 4	11			
jan	16-26	112	jan 11	-4			
	27-30	-9	18	113			
			28	-10			
Feb	1-29	-9	Feb 1	-8			
fev			fev 8	-9			
			15	-6			
Mar	1-31	-9	Mar 4	-8			
mars			mars21	-5			
			28	-8			
Apr	1-30	-8	Apr 1	-7			
avr			avr 10	-9			
			21	-8			
May	1-31	-7	May 2	-6			
mai			mai 23	-7			
			30	-7			
June	1-30	-7	June 3	-7			
juin			juin20	-6			
			27	-6			
July	1-31	-5	July 2	-5			
juil			juil 11	-3			
			21	-5			
Aug	1-31	-4	Aug 1	-4			
aout			8	-5			
			15	-4			
Sept	1-30	-6					
Oct	1-31	-6	Oct 3	-7			
oct			oct 17	-5			
			24	-7			
			29	-7			
Nov	1-30	-6	Nov 27	-22			
nov			nov				
Dec	1-31	-7	Dec 4	-9			
dec			dec 7	-4			
			23	-10			

FORT CHURCHILL

Operated by the Atmospheric Environment Service

OBSERVATORY SITE

The observatory is in a region characterized by sedimentary and volcanic rocks of Precambrian age.

A total force survey carried out in 1963 had shown that the area was reasonably flat magnetically with no total force anomalies greater than 30 nT within 45 m of the Absolute Instruments building.

INSTRUMENTATION

The following instrument changes occurred in 1980:

- 15 February: PPM relay changed
- 12 November: DVM exchange
- 25 November: DVM exchange

In June, the complete Ruska variometer set was shipped to Ottawa. Subsequently, this Ruska set was donated to the Manila Observatory at Manila, Phillipines.

REDUCTION OF DATA

Final corrections to be applied to the digital magnetogram plots submitted on microfilm to WDC A are listed in Tables 16 to 18.

Secondary digital data were inserted into the master minute value file for the following periods:

- September 15(0001) - 16(2400)
- October 24(0001) - 26(2400)
- November 9(0001) - 25(2400)

FORT CHURCHILL

Observatoire exploité par le Service de l'environnement atmosphérique

SITE DE L'OBSERVATOIRE

L'observatoire est situé dans une région de roches sédimentaires et volcaniques d'âge précambrien.

En 1963, une étude visant à mesurer l'intensité du champ magnétique total a montré que, dans la région, les gradients de l'intensité du champ étaient suffisamment faible et que l'on n'a observé aucune anomalie de plus de 30 nT dans un rayon de 45m de l'édifice des instruments pour les mesures absolues.

APPAREILS

On a procédé aux changements suivants en 1980:

- 15 février: changement du relais PPM
- 12 novembre: changement du voltmètre numérique
- 25 novembre: changement du voltmètre numérique

En juin, l'ensemble de variomètres de type Ruska a été envoyé à Ottawa. Plus tard, cet ensemble Ruska a été donné à l'observatoire à Manila, dans les Philippines.

REDUCTION DES DONNEES

Les tableaux 16 à 18 donnent les listes des corrections finales qui doivent s'appliquer aux magnétogrammes numériques. Celles-ci sont envoyées en forme de microfilm au WDC A.

Les données numériques secondaires ont été ajoutées au fichier principal pour les périodes suivantes:

- Septembre 15(0001) - 16(2400)
- Octobre 24(0001) - 26(2400)
- Novembre 9(0001) - 25(2400)

BASELINES nT				BASELINES nT			
LIGNES DE BASE nT				LIGNES DE BASE nT			
ADOPTED ADOPTÉE		OBSERVED OBSERVÉE		ADOPTED ADOPTÉE		OBSERVED OBSERVÉE	
Jan 1-15	-12-(-7)	Jan 7	-13	Aug 1-31	-22-(-40)	Aug 5	-13
jan 16-31	-9	jan 11	-16	aout		aout 8	-19
		15	- 7			13	-23
		23	-12			17	-18
		30	-26			18	-36
						24	-41
Feb 1-15	-21-(-41)	Feb 7	-23			28	-37
fev 16-21	-27-(-40)	feb 13	92			31	-39
22-29	-35-(-10)	21	-40	Sept 1-6	-41-(-48)	Sept 7	-45
		25	-10	sept 7-30	-46-(-20)	sept 9	-44
		29	-10			12	-39
Mar 1-20	-12-(-18)	Mar 19	-39			18	-21
mars21-31	-18-(-2)	mars23	-17			22	-26
		24	- 8			23	-14
		28	- 5			30	-20
Apr 1-30	-2-(-14)	Apr 2	- 2	Oct 1-10	-22-(-14)	Oct 4	-12
avr		avr 17	-11	oct 11-25	-17-(-28)	oct 8	-18
		19	-25	26-31	-21-(-11)	9	- 9
		22	-10			12	-18
		26	- 6			15	-19
						19	-23
May 1-4	-15-(-24)	May 1	-15			28	-15
mai 5-21	-21-(-12)	mai 4	-24	Nov 1-30	-9-(-20)	Nov 2	-12
22-31	-14-(-23)	6	-17	nov		nov 4	-46
		10	-18			7	-21
		22	-12			27	-17
		29	-30				
June 1-9	-19-(-11)	June 2	-36	Dec 1-12	-18-(-24)	Dec 7	-17
juin10-28	-12-(-22)	juin14	- 7	dec 13-21	-22-(-17)	dec 9	-28
29	-17	23	7	22-31	-17-(-32)	12	-21
30	-12	30	-10			15	-17
						23	-13
July 1-31	-13-(-21)	July 5	-14			30	-136
juil		juil 8	-14				
		11	-12				
		15	-13				
		18	-10				
		24	-15				
		31	-20				

Table 17

Fort Churchill

1980

Y

BASELINES nT				BASELINES nT			
LIGNES DE BASE nT				LIGNES DE BASE nT			
ADOPTED ADOPTÉE		OBSERVED OBSERVEE		ADOPTED ADOPTÉE		OBSERVED OBSERVEE	
Jan 1-8	-10-2	Jan 7	2	Aug 1-17	-23-(-31)	Aug 5	-22
jan 9-14	- 7-(-16)	jan 11	-15	aout 18-31	-33-(-23)	aout 8	-26
15-23	-15-(-2)	15	-15			13	-27
24-31	- 4-(11)	18	-12			17	-32
		23	- 1			18	-21
		30	- 9			24	-23
						28	-27
						31	-23
Feb 1-7	-13-(-22)	Feb 7	-33	Sept 1-10	-25-(-18)	Sept 7	222
fev 8-29	-20-(-3)	fev 13	- 9	sept 11-20	-20-(-30)	sept 9	-13
		21	- 6	21-30	-32-(-23)	12	-11
		25	- 1			18	-30
		29	- 3			22	-32
						23	-29
						30	-23
Mar 1-16	- 2	Mar 19	34	Oct 1-23	-25-(-32)	Oct 4	-22
mars17-24	3	mars 23	12	oct 24-25	-81	oct 8	-30
25-31	- 3	24	- 6	26-31	-28-(-22)	9	-27
		28	- 4			12	-23
						15	-26
						19	-33
						28	51
Apr 1-30	-2-(-21)	Apr 2	4	Nov 1-8	-20-(-14)	Nov 2	60
avr		avr 17	-10	nov 9-12	0-(-6)	nov 4	-22
		19	-14	13-30	6	7	-17
		22	-12			27	54
		26	-17				
May 1-31	-23-(-43)	May 1	-27	Dec 1-9	8-(-4)	Dec 7	- 1
mai		mai 4	-28	dec 10-31	4-4	dec 9	- 5
		6	-20			12	18
		10	-24			15	6
		22	-29			23	4
		29	-51			30	35
June 1-30	-47-(-20)	June 2	-38				
juin		juin 14	-55				
		23	-32				
		30	-26				
July 1-31	-24	July 5	-27				
juil		juil 8	-27				
		11	-23				
		15	-23				
		18	-22				
		24	-26				
		31	-22				

Table 18

Fort Churchill

1980

Z

BASELINES nT				BASELINES nT			
LIGNES DE BASE nT				LIGNES DE BASE nT			
ADOPTED ADOPTÉE		OBSERVED OBSERVEE		ADOPTED ADOPTÉE		OBSERVED OBSERVEE	
Jan 1-30	4-(-1)	Jan 7	2	Aug 1-31	4	Aug 5	2
jan 31	26	jan 11	3	aout		aout 8	3
		15	0			13	3
		18	2			17	-1
		23	1			18	5
						24	5
Feb 1-15	23-27	Feb 7	36			28	4
fev 16-29	7- 1	fev 13	918			31	4
		21	5				
		25	1	Sept 1-14	5	Sept 7	7
		29	1	sept 15-16	21	sept 9	6
				17-30	3	12	6
Mar 1-31	2	Mar 19	4			18	3
		23	2			22	3
		24	1			23	3
		28	1			30	3
Apr 1-30	2	Apr 2	0	Oct 1-15	2-(-5)	Oct 4	0
avr		avr 17	4	oct 16-23	-3- 3	oct 8	0
		19	3	24-25	19	9	2
		22	2	26-31	3	12	3
		26	2			15	2
						19	3
May 1-23	2	May 1	-2			28	1
mai 24-31	9-20	mai 4	4	Nov 1-8	3	Nov 2	1
		6	2	nov 9-25	-9-(-16)	nov 4	6
		10	2	26-30	2	7	3
		22	2			27	3
		29	26				
June 1-12	17-7	June 2	-31	Dec 1-31	2	Dec 7	2
juin 13-30	2	juin 14	3	dec		dec 9	3
		23	2			12	5
		30	2			15	2
						23	0
July 1-30	1	July 5	2			30	-1959
juil		juil 8	3				
		11	4				
		15	2				
		18	2				
		24	1				
		31	3				

GREAT WHALE RIVER

Operated under contract by M. Charles Côté

OBSERVATORY SITE

Poste-de-la-Baleine is located on a broad sandy spit at the mouth of Great Whale River on the east shore of Hudson Bay. The area consists of Archean granites largely overlain with a thick layer of sand. The sand was tested for magnetic properties and found to contain significant quantities of magnetite.

The observatory was built on a rock ridge 25 m above sea level about 2 km north of the east-west runway. Because of its magnetic properties, the local sand was not used in the construction.

INSTRUMENTATION

The following instrument changes occurred in 1980:

20 August:	repaired DVM on site by replacing the neon choppers
2 October:	DVM exchange

REDUCTION OF DATA

Final corrections to be applied to the digital magnetogram plots submitted on microfilm to WDC A are listed in Tables 19 to 21.

Secondary digital data were inserted into the master minute value file for the following periods:

July	29(0001) - 31(2400)
August	1(0001) - 11(2150)
	28(0001) - 31(2400)
September	1(0001) - 1(2400)
	7(0001) - 30(2400)
October	1(0001) - 2(1748)

GRANDE RIVIERE DE LA BALEINE

Observatoire exploité sous contrat par M. Charles Côté

SITE DE L'OBSERVATOIRE

Poste-de-la-Baleine est située sur une large pointe sablonneuse à l'embouchure de la Grande Rivière de la Baleine, sur la rive est de la baie d'Hudson. La région est constituée de granites archéens en grande partie recouverts d'une épaisse couche de sable. En vérifiant les propriétés magnétiques du sable, on a découvert qu'il contenait des quantités importantes de magnétite.

L'observatoire a été construit sur une crête rocheuse, à 25 m au-dessus du niveau de la mer, à environ 2 km au nord de la piste d'atterrissage est-ouest. On n'a pas pu employer le sable local pour la construction à cause de ses propriétés magnétiques.

APPAREILS

On a procédé aux changements suivants en 1980:

20 août:	réparation sur place d'un voltmètre numérique par remplacement des vibrateurs au néon
2 octobre:	changement du voltmètre numérique

REDUCTION DES DONNEES

Les tableaux 19 à 21 donnent les listes des corrections finales qui doivent s'appliquer aux magnétogrammes numériques. Celles-ci sont envoyées en forme de microfilm au WDC A.

Les données numériques secondaires ont été ajoutées au fichier principal pour les périodes suivantes:

Juillet	29(0001) - 31(2400)
Août	1(0001) - 11(2150)
	28(0001) - 31(2400)
Septembre	1(0001) - 1(2400)
	7(0001) - 30(2400)
Octobre	1(0001) - 2(1748)

Table 19

Great Whale River 1980

X

BASELINES nT				BASELINES nT					
LIGNES DE BASE nT				LIGNES DE BASE nT					
ADOPTED ADOPTÉE			OBSERVED OBSERVEE		ADOPTED ADOPTÉE			OBSERVED OBSERVEE	
Jan 1-31	24-8	Jan 3	16	Sept 1	-58	Sept 4	91		
jan		jan 7	4	sept 2-6	79-104	sept 8	4		
		10	19	7-30	0-14	11	6		
		14	5			15	0		
		17	23			18	8		
		21	8			22	-1		
		24	11			25	19		
		28	13						
		31	8						
Feb 1-19	10-(-15)	Feb 4	12	Oct 1	10	Oct 6	103		
fev 20-29	-9-(-4)	fev 7	18	oct 2-28	103-95	oct 9	103		
		11	3	29	82	13	102		
		15	7	30-31	64	16	105		
		19	-15			24	101		
		21	4			27	95		
		25	-12			28	102		
		28	-9			30	61		
Mar 1-5	2-(-6)	Mar 3	9	Nov 1-20	59-72	Nov 3	62		
mars 6-24	-4-32	mars 6	-7	nov 20-30	70-55	nov 6	60		
25-31	28-5	10	6			10	60		
		13	-44			13	60		
		17	11			17	61		
		20	17			20	73		
		24	33			24	60		
		27	22			27	50		
		31	5						
Apr 1-30	9-21	Apr 3	17	Dec 1-23	58-24	Dec 4	34		
avr		avr 7	19	dec 24-31	28	dec 8	46		
		10	12			10	54		
		14	39			15	24		
		17	-2			18	34		
		21	-9			22	27		
		23	8			25	32		
		27	21			29	27		
May 1-31	20-35	May 4	16						
mai		mai 4	214						
		15	23						
		18	19						
		21	32						
		25	23						
		29	31						
June 1-13	39-49	June 13	48						
juin 14-27	45-30	juin 17	29						
28-30	31-43	20	44						
		25	46						
		27	29						
July 1-31	44-77	July 4	41						
juil		juil 8	52						
		11	43						
		15	65						
		19	67						
		23	67						
		27	81						
		30	72						
Aug 1-11	81-71	Aug 2	81						
aout 12-18	no data	aout 7	81						
19-27	88-107	11	71						
28-31	-15-(-51)	22	92						
		25	94						
		28	-17						

Table 21

Great Whale River

1980

Z

BASELINES nT			BASELINES nT		
LIGNES DE BASE nT			LIGNES DE BASE nT		
ADOPTED ADOPTÉE		OBSERVED OBSERVEE	ADOPTED ADOPTÉE		OBSERVED OBSERVEE
Jan 1-31	0	Jan 3 -1 jan 7 12 10 -2 14 2 17 -2 21 1 24 0 28 -1 31 0	July 1-31	-8-(-15)	July 4 -7 juil 8 -9 11 -7 15 -11 19 -12 23 -12 27 -14 30 -16
Feb 1-29	-2-5	Feb 4 -1 fev 7 0 11 3 15 0 19 3 21 0 25 5 28 3	Aug 1-13	-19-(-6)	Aug 2 -19 aout 7 -18 11 -13 22 -15 25 -16 28 -617
Mar 1-31	-2	Mar 3 -1 mars 6 2 10 0 13 5 17 -2 20 -1 24 -6 27 -4 31 0	Sept 1	-625	Sept 1 -627 sept 4 -16 8 -624 11 -551 15 -549 18 -553 22 -553 25 -557
Apr 1-30	-3	Apr 3 -3 avr 7 -4 10 -3 14 -6 17 1 21 1 23 0 27 -3	Oct 1-2	-552	Oct 6 -18 oct 9 -17 13 -16 16 -18 20 -17 24 -17 27 -16 28 -16 30 -6
May 1-31	-3	May 4 -2 mai 4 -63 15 -2 18 -2 21 -4 25 -5 29 -4	Nov 1-30	- 8	Nov 3 -8 nov 6 -8 10 -7 13 -7 17 -8 20 -10 24 -9 27 -5
June 1-30	-7	June 13 -7 juin 17 -4 20 -7 25 -6 27 -4	Dec 1-31	-8-0	Dec 4 -2 dec 8 -8 10 -7 15 -4 18 -4 22 0 25 -3 29 0

MEANOOK

Officer-in-charge: A.B. Cook

Meanook magnetic observatory was established in July 1916, 136 km north of the city of Edmonton, Alberta, and 18 km south of the town of Athabasca.

OBSERVATORY SITE

The observatory is located on the top of the plain to the west of the Tawatinaw valley. The site is underlain by Upper Cretaceous sedimentary deposits to a depth of 2 km.

INSTRUMENTATION

The following instrument changes occurred in 1980:

27 February: tape recorder exchange
 11 June: tape recorder exchange
 13 November: DVM exchange
 28 November: AMOS Mk III in operation

REDUCTION OF DATA

Final corrections to be applied to the digital magnetogram plots submitted on microfilm to WDC A are listed in Tables 22 to 24.

Secondary digital data were inserted into the master minute value file for the following periods:

April 23(0001) - 30(2400)
 May 1(0001) - 31(2400)
 June 1(0001) - 2(2400)

MEANOOK

Agent responsable: A.B. Cook

L'observatoire magnétique de Meanook a été établi en juillet 1916, à 136 km au nord d'Edmonton (Alberta), et à 18 km au sud d'Athabasca.

SITE DE L'OBSERVATOIRE

L'observatoire se trouve sur le point le plus élevé de la plaine située à l'ouest de la vallée au Tawatinaw. Le sous-sol de ce site est constitué de dépôts sédimentaires du Crétacé supérieur, jusqu'à une profondeur de 2 km.

APPAREILS

On a procédé aux changements suivants en 1980:

27 février: changement d'un enregistreur sur bande
 11 juin: changement d'un enregistreur sur bande
 13 novembre: changement du voltmètre numérique
 28 novembre: AMOS Mk III en service

REDUCTION DES DONNEES

Les tableaux 22 à 24 donnent les listes des corrections finales qui doivent s'appliquer aux magnétogrammes numériques. Celles-ci sont envoyées en forme de microfilm au WDC A.

Les données numériques secondaires ont été ajoutées au fichier principal pour les périodes suivantes:

Avril 23(0001) - 30(2400)
 Mai 1(0001) - 31(2400)
 Juin 1(0001) - 2(2400)

BASELINES nT			BASELINES nT			BASELINES nT			BASELINES nT		
LIGNES DE BASE nT			LIGNES DE BASE nT			LIGNES DE BASE nT			LIGNES DE BASE nT		
ADOPTED ADOPTEE			OBSERVED OBSERVEE			ADOPTED ADOPTEE			OBSERVED OBSERVEE		
Jan 1-31	136-124		Jan 3	135		July 1-31	125		July 7	126	
jan			jan 5	144		juil			juil 7	124	
			7	136					10	123	
			7	133					10	129	
			14	136					14	127	
			14	138					15	127	
			21	128					15	128	
			21	127					29	128	
			25	132					29	126	
			31	124							
			31	127							
Feb 1-29	128-122		Feb 4	-102		Aug 1-31	127		Aug 6	111	
fev			fev 5	130		aout			aout 11	130	
			11	127					11	83	
			11	121					15	128	
			20	124					20	123	
			20	124					22	126	
			28	122					27	128	
			28	122					27	123	
Mar 1-31	120-114		Mar 3	117		Sept 1-30	125-131		Sept 4	127	
mars			mars 3	115		sept			sept 8	125	
			7	111					8	128	
			11	120					11	129	
			13	114					17	134	
			18	111					17	130	
			18	114					22	131	
			24	117					22	134	
			24	117							
Apr 1-22	116-123		Apr 2	115		Oct 1-29	131		Oct 14	131	
avr 23-30	153		avr 2	118		oct 30-31	150		oct 16	132	
			14	121					16	133	
			15	124					20	132	
			21	123					20	131	
			21	125					27	130	
			24	149					27	132	
			24	156					29	130	
									29	131	
May 1-5,7-31	-151		May 2	149		Nov 1-30	148-132		Nov 18	132	
mai 6	224		mai 2	165		nov			nov 18	134	
			8	151							
			16	147							
			20	142							
			20	143							
			26	136							
			26	141							
June 1-2	153		June 4	126		Dec 1-31	133		Dec 4	132	
juin 3-16	126-134		juin 16	134		dec			dec 9	131	
17-30	132-124		19	125					15	130	
			19	127					15	135	
			27	126					29	131	
			27	124							

Table 23

Meanook 1980

Y

BASELINES nT				BASELINES nT			
LIGNES DE BASE nT				LIGNES DE BASE nT			
ADOPTED ADOPTÉE		OBSERVED OBSERVEE		ADOPTED ADOPTÉE		OBSERVED OBSERVEE	
Jan 1	152	Jan 3	24	July 1-31	50	July 7	52
jan 2-31	19-26	jan 5	-2	juil		juil 7	55
		7	23			10	52
		7	25			10	54
		14	17			14	48
		14	19			15	50
		21	41			15	53
		21	43			29	52
		25	41			29	53
		31	44				
		31	46				
Feb 1-29	27-32	Feb 4	-54	Aug 1-31	51-58	Aug 6	48
fev		fev 5	48	aout		aout 11	58
		11	45			15	57
		11	44			20	52
		20	44			22	48
		20	46			27	56
		28	54			27	60
		28	49				
Mar 1-31	29	Mar 3	51	Sept 1-20	59	Sept 4	61
mars		mars 3	46	sept 21-30	54	sept 8	57
		3	48			8	55
		11	34			11	57
		13	51			17	61
		18	50			17	60
		18	51			22	49
		24	46			22	58
		24	47				
Apr 1-23	28-21	Apr 2	48	Oct 1-31	53-63	Oct 14	56
avr 24-28	-143	avr 2	49	oct		oct 16	57
28-29	57	14	42			16	59
30	-180	15	44			20	57
		21	41			20	61
		21	42			27	62
		24	-123			27	62
		24	-119			29	60
						29	61
May 1-6	-184	May 2	-160	Nov 1-6	59-39	Nov 18	58
mai 7	-327	may 2	-154	nov 7-30	58	nov 18	59
8-10	27-36	8	35				
11-25	21-14	14	43	Dec 1-31	62-49	Dec 4	64
26-30	16-50	16	42	dec		dec 9	63
		20	33			15	56
		20	32			15	60
		26	36			29	54
		26	45				
June 1-30	52	June 4	53				
juin		juin 16	56				
		19	48				
		19	53				
		27	52				
		27	51				

Table 24

Meanook 1980

Z

BASELINES nT			BASELINES nT		
LIGNES DE BASE nT			LIGNES DE BASE nT		
ADOPTED ADOPTEE		OBSERVED OBSERVEE	ADOPTED ADOPTEE		OBSERVED OBSERVEE
Jan 1-31	-11	Jan 3 -32	July 1-31	-11	July 7 -31
jan		jan 5 -64	juil		juil 7 -31
		7 -31			10 -31
		7 -31			10 -32
		14 -30			14 -31
		14 -32			15 -31
		21 -31			15 -34
		21 -32			29 -32
		25 -31			29 -31
		31 -30			
		31 -30			
Feb 1-29	-10	Feb 4 18	Aug 1-31	-10	Aug 6 -26
fev		fev 5 -32	aout		aout 11 -33
		11 -31			11 -34
		11 -31			15 -32
		20 -30			20 -31
		20 -30			20 -34
		28 -31			22 -30
		28 -30			27 -32
					27 -34
Mar 1-31	- 8	Mar 3 -29	Sept 1-30	-11	Sept 4 -33
mars		mars 3 -28	sept		sept 8 -34
		7 -28			8 -32
		11 -29			11 -28
		13 -29			17 -33
		18 -27			17 -33
		18 -29			22 -32
		24 -28			22 -34
		24 -29			
Apr 1-22	- 9	Apr 2 -30	Oct 1-29	-12	Oct 14 -32
avr 23-30	95	avr 2 -30	oct 30-31	76	oct 16 -32
		14 -29			16 -33
		15 -29			20 -32
		21 -29			20 -32
		21 -29			27 -33
		24 69			27 -33
		24 80			29 -32
					29 -33
May 1-5,7-31	87	May 2 69	Nov 1-13	71	Nov 18 -33
mai 6	-67	mai 2 90	nov 14-30	-12	nov 18 -31
		8 62			
		14 63			
		16 70			
		20 61			
		20 71			
		26 49			
		26 61			
June 1-2	90	June 4 -32	Nov 1-13	71	Nov 18 -33
juin 3-30	-10	juin 16 -32	nov 14-30	-12	nov 18 -31
		19 -30			
		19 -32			
		27 -31			
		27 -31			

Operated under contract by Mrs. Moire Sine Neary

Observatoire exploité sous contrat par Mme Moire Sine Neary

OBSERVATORY SITE

The observatory is 3 km northeast of the centre of the city and 1.5 km from the sea. The area is magnetically flat, and the total intensity varies less than 15 nT within the site. A preliminary survey of geomagnetic time variations throughout Newfoundland revealed no gross anomalies of electro-magnetic induction in the St. John's region, but some coastal induction effects must be expected and have in fact been found.

INSTRUMENTATION

The following instrument changes occurred in 1980:

24 May:	DVM exchange
21 July:	repairs to electrical power panel and its meter
1 August:	T.I. recorder exchange
24 October:	PPM counter exchange

REDUCTION OF DATA

Final corrections to be applied to the digital magnetogram plots submitted on microfilm to WDC A are listed in Tables 25 to 27.

Secondary digital data were inserted into the master minute value file for the following periods:

January	25(1801) - 24(2400)
March	6(0001) - 29(2400)
April	8(0001) - 30(2400)
May	1(0001) - 1(1850)
	13(0001) - 24(2400)
June	5(0001) - 10(2400)
	26(1311) - 30(2400)
July	1(0001) - 1(2400)
	13(0001) - 25(1800)
August	1(0001) - 8(2400)
September	22(0001) - 30(2400)
October	1(0001) - 2(2400)
	15(0001) - 31(2400)
November	1(0001) - 30(2400)
December	1(0001) - 1(2400)

SITE DE L'OBSERVATOIRE

L'observatoire se trouve à 3 km au nord-est du centre de la ville, et à 1,5 km de la mer. Cette région ne présente pas d'anomalie magnétique marquante, et l'intensité totale varie de moins de 15 nT à l'intérieur du site. Une étude préliminaire des variations géomagnétiques en fonction du temps, effectuée dans l'ensemble de Terre-Neuve, n'a pas révélé d'importante anomalie de l'induction électro-magnétique dans la région de Saint-Jean (T.-N.), mais on doit s'attendre à observer certains effets de bord de mer et ils ont déjà été constatée.

APPAREILS

On a procédé aux changements suivants en 1980:

24 mai:	changement (DVM).
21 juillet:	réparations du circuit d'entrée électrique et de son indicateur
1er août:	changement de l'enregistreur T.I.
24 octobre:	changement du compteur PPM

REDUCTION DES DONNEES

Les tableaux 25 à 27 donnent les listes des corrections finales qui doivent s'appliquer aux magnétogrammes numériques. Celles-ci sont envoyées en forme de microfilm au WDC A.

Les données numériques secondaires ont été ajoutées au fichier principal pour les périodes suivantes:

Janvier	25(1801) - 24(2400)
Mars	6(0001) - 29(2400)
Avril	8(0001) - 30(2400)
Mai	1(0001) - 1(1850)
	13(0001) - 24(2400)
Juin	5(0001) - 10(2400)
	26(1311) - 30(2400)
Juillet	1(0001) - 1(2400)
	13(0001) - 25(1800)
Août	1(0001) - 8(2400)
Septembre	22(0001) - 30(2400)
Octobre	1(0001) - 2(2400)
	15(0001) - 31(2400)
Novembre	1(0001) - 30(2400)
Décembre	1(0001) - 1(2400)

Table 26

St. John's

Y

BASELINES nT			BASELINES nT								
LIGNES DE BASE nT			LIGNES DE BASE nT								
ADOPTED ADOPTÉE			OBSERVED OBSERVEE			ADOPTED ADOPTÉE			OBSERVED OBSERVEE		
Jan	1-11	5-(-4)	Jan	1	3	July	1	16	July	1	17
jan	12-25(1800)	-3	jan	5	-4	juil	2-12	11	juil	4	10
	25(1800)-28	-101		8	-1		13-16(1810)	23		8	11
	29-31	-3		11	-6		16(1811)-25	37		11	12
				16	-6		26-31	18		16	23
				20	-2					21	39
				23	-3					24	36
				26	-101					28	19
				30	-30						
Feb	1-29	-4	Feb	2	-3	Aug	1-8	30	Aug	1	32
fev			fev	7	-1	aout	9-31	12-8	aout	11	14
				13	-6					15	9
				16	-5					19	7
				19	-5					22	5
				22	-13					27	8
Mar	1-5	-6	Mar	1	-6	Sept	1-21	8-4	Sept	1	8
mars	6-31	5	mars	5	-7	sept	22-30	24	sept	5	6
				11	10					9	4
				15	1					13	16
				19	4					17	5
				22	2						
				27	-3	Oct	1-2	24	Oct	3	10
				29	6	oct	3-14	10	oct	8	12
							15-24(1834)	26		12	7
Apr	1-7	37	Apr	1	36		24(1825)-31	8		15	27
avr	8-30	6-16	avr	5	38					24	26
				9	4					29	8
				14	8						
				18	14	Nov	1-30	11	Nov	5	11
				23	13	nov			nov	10	10
				28	14					14	12
										19	11
May	1-12	13	May	1	14					23	11
mai	13-24	-28	mai	5	11					26	8
	25-31	10		8	14						
				12	22	Dec	1	11	Dec	1	4
				16	-29	dec	2-31	5-(-9)	dec	5	3
				24	-27					10	1
				28	-64-21					15	0
										19	-5
June	1-26(1310)	10	June	1	6					24	-22
juin	26(1311)-30	16	juin	4	11					29	-13
				8	8						
				12	9						
				15	11						
				18	8						
				23	-1						
				26	18						

Table 27

St. John's

Z

BASELINES nT				BASELINES nT							
LIGNES DE BASE nT				LIGNES DE BASE nT							
ADOPTED ADOPTEE			OBSERVED OBSERVEE		ADOPTED ADOPTEE			OBSERVED OBSERVEE			
Jan	1-25(1800)	10	Jan	1	10	July	1	-31	July	1	-31
jan	25(1800)-28	-25	jan	5	10	juil	2-12	12	juil	4	12
	29-31	9		8	10		13-25	-53-(-71)		8	12
				11	9		26-31	15		11	14
				16	9					16	-53
				20	10					21	-61
				23	9					24	-71
				26	-25					28	15
				30	9						
Feb	1-29	9	Feb	2	9	Aug	1-8	-46	Aug	1	-35
fev			fev	7	10	aout	9-31	16	aout	6	-57
				13	10					11	18
				16	9					15	17
				19	10					19	16
				22	9					22	16
										27	15
Mar	1-5	10	Mar	1	10	Sept	1-21	16	Sept	1	15
mars	6-29(1800)	-16	mars	5	9	sept	22-30	-73	sept	5	17
	29(1801)-31	-28		11	-21					9	16
				15	-24					13	15
				19	-21					17	14
				22	-12						
				27	-13	Oct	1-2	-72	Oct	3	16
				29	-26	oct	3-14	16	oct	8	16
Apr	1-7	-28	Apr	1	-14		15-24(1834)	-75		12	16
avr	8-30	12	avr	5	-41		24(1835)-31	-45		15	-67
				9	11					24	-86
				14	11					29	-45
				18	12	Nov	1-30	-45	Nov	5	-48
				23	12	nov			nov	10	-38
				28	11					14	-45
										23	-48
May	1-12	12	May	1	12					26	-27
mai	13-24	-4	mai	5	12						
	25-31	10		8	11	Dec	1	-45	Dec	1	-43
				12	12	dec	2-31	13	dec	5	14
				16	-4					10	13
				24	-4					15	6
				28	8					19	12
June	1-4	10	June	1	10					24	10
juin	5-10	-38	juin	4	11					29	12
	11-26(1310)	11		8	-38						
	26(1311)-30	-31		12	10						
				15	10						
				18	11						
				23	12						

Officer-in-charge: J. Hruska

OBSERVATORY SITE

The observatory is located on the east-west ridge of land known as Dolman Ridge, bounded on the north by the swamps and marshes of Mer Bleue, and on the south by the Borthwick Creek swampland. Dolman Ridge is a feature of the recent geological period, and was at one time an island in the Champlain Sea.

INSTRUMENTATION

The following instrument changes occurred in 1980:

30 January:	changed baseline boards in the AMOS fluxgate
4 February	DVM exchange
7 February	tape recorder exchange
26 February:	tape recorder exchange
11 April:	DVM repaired
2 May:	DVM exchange
19 June:	DVM exchange
9 July:	DVM exchange
4 September:	cleaned pinch roller on tape desk
8 December:	DVM exchange

REDUCTION OF DATA

Final corrections to be applied to the digital magnetogram plots submitted on microfilm to WDC A are listed in Tables 28 to 30.

Secondary digital data were inserted into the master minute value file for the following periods:

January	4(1601) - 31(2400)
February	1(0001) - 26(2400)
March	3(0010) - 31(2400)
April	1(0001) - 11(1750)
May	13(0001) - 31(2400)
June	1(0001) - 30(2400)
July	1(0001) - 9(2400)
December	5(0001) - 8(2400)

AMOS F values were added to the secondary data during the period 13 June to 8 July in order to adjust the data by using the correction factor

$$F/(X^2 + Y^2 + Z^2)^{1/2}$$

Agent responsable: J. Hruska

SITE DE L'OBSERVATOIRE

L'observatoire est situé sur une crête, d'axe est-ouest, appelée crête Dolman, limitée au nord par les marécages et les tourbières du Mer bleue, et au sud, par les marécages du ruisseau Borthwick. Ancienne île de la mère de Champlain, la crête Dolman est une formation quaternaire.

APPAREILS

On a procédé aux changements suivants en 1980:

30 janvier:	changement des fiches de contrôle de la ligne de base du fluxgate AMOS.
4 février:	changement du DVM
7 février:	changement d'un enregistreur sur bande.
26 février:	changement d'un enregistreur sur bande.
11 avril:	réparation du DVM.
2 mai:	changement du DVM.
19 juin:	changement du DVM.
9 juillet:	changement du DVM.
4 septembre:	nettoyement du galet presseur.
8 décembre:	changement du DVM.

REDUCTION DES DONNEES

Les tableaux 28 à 30 donnent les listes des corrections finales qui doivent s'appliquer aux magnétogrammes numériques. Celles-ci sont envoyées en forme de microfilm au WDC A.

Les données numériques secondaires ont été ajoutées au fichier principal pour les périodes suivantes:

Janvier	4(1601) - 31(2400)
Février	1(0001) - 26(2400)
Mars	3(0010) - 31(2400)
Avril	1(0001) - 11(1750)
Mai	13(0001) - 31(2400)
Juin	1(0001) - 30(2400)
Juillet	1(0001) - 9(2400)
Décembre	5(0001) - 8(2400)

Les valeurs F AMOS ont été ajoutées aux données secondaires pendant la période du 13 juin au 8 juillet afin de corriger les données par application du facteur de correction

$$F/(X^2 + Y^2 + Z^2)^{1/2}$$

BASELINES nT LIGNES DE BASE nT				BASELINES nT LIGNES DE BASE nT			
ADOPTED ADOPTÉE		OBSERVED OBSERVÉE		ADOPTED ADOPTÉE		OBSERVED OBSERVÉE	
Jan 1-11	8-13	Jan 3	6	Aug 1-30	17-9	Aug 8	19
jan 12-31	-17	jan 10	5	aout		aout 21	6
		16	-11			28	1
		23	-10	Sept 1-30	-1	Sept 4	2
		30	15	sept		sept 12	0
Feb 1-8	19	Feb 20	-505			18	0
fev 9-13	-11	fev 28	30			25	-1
14	-60			Oct 1-24	1-(-11)	Oct 3	-7
15	-570			oct 25-31	-11-(-8)	oct 15	23
16-27	-500					17	-9
28-29	40					24	-11
Mar 1	40	Mar 5	4			28	-6
mars 2-18,20,21	5-11	mars 12	10	Nov 1-30	-7 -(-2)	Nov 5	-5
19	29	28	-3	nov		nov 14	-3
22-24	-100					21	-5
25-31	-4-2					26	-10
Apr 1-10	5-25	Apr 14	38	Dec 1-3	-3	Dec 5	-19
avr 11	-1072	avr 28	40	dec 5-8	-22	dec 9	-2
12-30	23-43			6-31	-2	17	-3
May 1	43	May 14	38			31	-1
mai 2-31	33-44	mai 21	35				
		29	22				
June 1-11	44	June 6	41				
juin 12-19	86	juin 16	83				
20	44	23	26				
21-30	25	30	23				
July 1-8	24-11	July 10	31				
juil 9-31	31-13	juil 16	26				
		23	19				
		29	18				

Table 29

Ottawa 1980

Y

BASELINES nT				BASELINES nT			
LIGNES DE BASE nT				LIGNES DE BASE nT			
ADOPTED ADOPTÉE		OBSERVED OBSERVEE		ADOPTED ADOPTÉE		OBSERVED OBSERVEE	
Jan 1-10	-27	Jan 3	24	Aug 1-11	22-29	Aug 8	38
jan 11-31	-18-(-9)	jan 10	-24	aout 12-31	29-24	aout 21	23
		16	-20			28	22
		23	-9				
		30	-21				
Feb 1-8	-19-(-28)	Feb 20	-4	Sept 1-30	24-15	Sept 12	24
fev 9-14	15	fev 28	-2	sept		sept 18	19
15	-515					25	17
16-29	-3						
Mar 1	-2	Mar 5	7	Oct 1-31	14-(-4)	Oct 3	7
mars 2-17	8	mars 12	6	oct		oct 15	18
18	152	28	198			15	-25
19-20	-4					17	-1
21-23	107					24	-1
24-31	202					28	-3
Apr 1-2	193	Apr 14	30	Nov 1-15	-4-12	Nov 5	7
avr 3-10	227-222	avr 17	27	nov 16-30	11-(-2)	nov 14	33
11	522	28	27			21	-4
12	-12					26	-33
13-30	29			Dec 1-31	-6	Dec 5	0
May 1	30	May 14	16	dec		9	3
mai 2-27	16-4	mai 21	20			17	-8
28	32	29	24			31	6
29-30	1						
June 1-11	8-13	June 6	8				
juin 12-20	5	juin 16	7				
21-30	27-18	23	1				
		30	8				
July 1-8	9-(-8)	July 10	21				
juil 9-31	20	juil 16	20				
		23	18				
		29	20				

Table 30

Ottawa 1980

Z

BASELINES nT				BASELINES nT			
LIGNES DE BASE nT				LIGNES DE BASE nT			
ADOPTED ADOPTÉE		OBSERVED OBSERVÉE		ADOPTED ADOPTÉE		OBSERVED OBSERVÉE	
Jan 1-11	63-67	Jan 3	59	Sept 1-30	61	Sept 4	62
jan 12-30	-32-(-11)	10	66	sept		sept 12	61
31	51	16	-29			18	60
		23	-29			25	61
		30	56				
Feb 1-13	51-45	Feb 20	-532	Oct 1-31	61	Oct 3	62
fev 14	-55	fev 28	49			15	69
15	-660					15	62
16	-672					17	62
17-26	-580-(-530)					24	62
27-29	52			Nov 1-30	61	Nov 5	62
				nov		nov 14	63
Mar 1-3	54	Mar 5	-33			21	61
mars 4-18	-34	mars 12	-32			26	68
19	-65	28	-42				
20	-121			Dec 1-4	61	Dec 5	-2
21-31	-43-(-35)			dec 5-8	-85	dec 9	60
				8-31	61	17	60
Apr 1-2	-33	Apr 14	51			31	59
avr 3-11	-10	avr 17	50				
12-30	43-53	28	50				
May 1-31	49-31	May 14	39				
mai		mai 21	39				
		29	36				
June 1-30	33-53	June 6	44				
juin		juin 23	51				
		30	54				
July 1-7	52-61	July 10	52				
juil 8	-24	juil 23	55				
9-31	52	29	55				
Aug 1-26	57	Aug 8	64				
aout 27-30	131	aout 21	59				
31	60	28	61				

VICTORIA

Officer-in-charge: T.C. Bunyan

The Victoria Magnetic Observatory was established in 1957 on the grounds of the Dominion Astrophysical Observatory (now National Research Council) on Little Saanich Mountain about 16 km north of Victoria, British Columbia.

OBSERVATORY SITE

The area is underlain by acid intrusive rocks of Mesozoic age. A survey was made in 1956, using a 7.5 m grid separation of stations, to determine the vertical magnetic field intensity gradients. This revealed an average station difference, independent of sign, of 25 nT \pm 20 nT standard deviation in any one difference. No large anomalies exceeding 25 nT were found within 30 m of the building site and the distribution of small anomalies was apparently random.

INSTRUMENTATION

The following instrument changes occurred in 1980:

15 January	PPM relay changed
23 January	PM relay cleaned
31 January	tape recorder exchange
16 June:	tape recorder exchange
30 June:	DVM exchange
19 August:	change neon choppers in DVM
5 September:	change neon-choppers in T.I. recorder
8 September:	tape recorder exchange
10 September:	change neon-choppers in T.I. recorder
3 October:	tape recorder exchange
11 November:	PPM relay cleaned
22 December:	PPM relay cleaned
29 December:	PPM relay changed

VICTORIA

Agent responsable: T.C. Bunyan.

L'observatoire magnétique de Victoria a été installé en 1957 à l'emplacement de l'observatoire fédéral d'astrophysique (actuellement le Conseil national de Recherches), sur la montagne Little Saanich, à environ 16 km au nord de Victoria (Colombie-Britannique).

SITE DE L'OBSERVATOIRE

Le sous-sol la région est constitué de roches acides intrusives, d'âge mésozoïque. Un levé a été effectué en 1956, avec un intervalle de 7.5 mètres entre stations, pour déterminer les gradients d'intensité de la composante verticale du champ magnétique. On a observé une différence moyenne entre les stations de 25 nT, avec un écart-type de \pm 20 nT quelle que soit la différence. On n'a découvert aucune anomalie importante dépassant 25 nT dans un rayon de 30 mètres autour du site, et les anomalies faibles semblaient réparties au hasard.

APPAREILS

On a procédé aux changements suivants en 1980:

15 janvier	changement du relais PPM
23 janvier	nettoisement du relais PPM
31 janvier	changement d'un enregistreur sur bande.
16 juin	changement d'un enregistreur sur bande.
30 juin	changement du DVM.
19 août	changement des vibrateurs au néon d'un voltmètre numérique.
5 septembre	changement des vibrateurs au néon dans l'enregistreur T.I.
8 septembre	changement d'un enregistreur sur bande.
10 septembre	changement des vibrateurs au néon dans l'enregistreur T.I.
3 octobre	changement d'un enregistreur sur bande.
11 novembre	nettoisement du relais PPM.
22 décembre	nettoisement du relais PPM.
29 décembre	changement du relais PPM.

REDUCTION OF DATA

Final corrections to be applied to the Ruska magnetograms submitted on microfilm to WDC A are listed in Tables 31 to 33.

Secondary digital data were inserted into the master minute value file for the following periods:

June	6(0001) - 30(2400)
July	13(2101) - 31(2400)
August	12(0001) - 19(2400)

PARAMETERS OF RUSKA DATA REDUCTION

Temperature and parallax corrections

The temperature corrections to be applied to the Ruska baselines have been added to the adopted Ruska baselines.

Parallax corrections to be applied to the times read on the magnetograms were determined in February 1979:

H:	3.0 min. to be added
D:	0.6 min. to be added
Z:	no correction

Baselines and scale values

Relocation of the proton precession magnetometer sensor on 8 January, 1979 led to a change in the F standard. The resulting effect in F was as follows:

new standard minus old standard = -13 nT

This correction has been included into the 1980 data in order to reduce it to the previous reference pier.

REDUCTIONS DES DONNEES

Les tableaux 31 à 33 donnent les listes des corrections finales qui doivent s'appliquer aux magnétogrammes numériques. Celles-ci sont envoyées en forme de microfilm au WDC A.

Les données numériques secondaires ont été ajoutées au fichier principal pour les périodes suivantes:

Juin	6(0001) - 30(2400)
Juillet	13(2101) - 31(2400)
Août	12(0001) - 19(2400)

PARAMETRES DE REDUCTION DES DONNEES RUSKA

Corrections de température et de parallaxe

Les corrections de température à appliquer aux lignes de base Ruska ont été ajoutées aux lignes de base adoptées.

Les corrections de parallaxe à appliquer aux temps lus sur les magnétogrammes ont été déterminées en février 1979:

H:	3,0 min. à ajouter
D:	0,6 min. à ajouter
Z:	aucune correction

Lignes de base et échelles

Le changement de place du capteur du magnétomètre à précession de protons le 8 janvier 1979 a entraîné un changement de la norme F. Le résultat est le suivant:

nouvelle valeur moins ancienne valeur = -13nT

Cette correction a été incluse dans les données pour 1980 de façon à la réduire au précédent pilier de référence.

BASELINES nT LIGNES DE BASE nT		SCALE VALUES nT/mm VALEUR D'ECHELLE nT/mm	
ADOPTED ADOPTÉE	OBSERVED OBSERVÉE	ADOPTED ADOPTÉE	OBSERVED OBSERVÉE
Jan - Mar jan - mars	18905	Jan - Mar jan - mars	4.35
Apr avr	18907	Apr avr	4.36
May mai	18904	May mai	4.36
June juin	18903	June juin	4.38
July juil	18901	July juil	4.40
Aug aout	18903	Aug aout	4.37
Sept sept	18900	Sept sept	4.36
Oct oct	18900	Oct oct	4.34
Nov nov	18899	Nov nov	4.34
Dec dec	18899	Dec dec	4.35

Table 32

Victoria

1980

D(east)

BASELINES nT LIGNES DE BASE nT		SCALE VALUES nT/mm VALEUR D'ECHELLE nT/mm	
ADOPTED ADOPTÉE	OBSERVED OBSERVÉE	ADOPTED ADOPTÉE	OBSERVED OBSERVÉE
Jan 1(001)-2(2359) jan 22° 6.0' 3(001)-31(2400) 21°21.0'		Jan - Dec jan - dec	0.98'/mm
Feb 21°20.9' feb			
Mar 21°20.9' mars			
Apr 21°20.8' avr			
May 21°21.0' mai			
June 21°19.9' juin			
July 21°20.3' juil			
Aug 21°20.2' aout			
Sept 21°20.5' sept			
Oct 21°20.0' oct			
Nov 21°19.9' nov			
Dec 21°19.9' dec			

BASELINES nT LIGNES DE BASE nT		SCALE VALUES nT/mm VALEUR D'ECHELLE nT/mm	
ADOPTED ADOPTÉE	OBSERVED OBSERVÉE	ADOPTED ADOPTÉE	OBSERVED OBSERVÉE
Jan 1(0001)-2(2400) jan 53031 3(0001)-31(2400) 52833		Jan 1(0001)-2(2400) jan 5.10 3(0001)-31(2400) 5.01	
Feb 52934 feb		Feb 5.10 feb	
Mar 52934 mars		Mar 5.20 mars	
Apr 52836 avr		Apr 5.24 avr	
May 52838 mai		May 5.24 mai	
June 52839 juin		June 5.21 juin	
July 52843 juil		July 5.17 juil	
Aug 52849 aout		Aug 5.24 aout	
Sept 52856 sept		Sept 5.21 sept	
Oct 52858 oct		Oct 5.20 oct	
Nov 52860 nov		Nov 5.35 nov	
Dec 52862 dec		Dec 5.30 dec	

WHITESHELL
(VARIATION STATION)

An AMOS was installed during the period July 14 - 30, 1977 at the University of Manitoba laboratory in Whiteshell, 160 km east of Winnipeg. The cost of the operation of the station is shared between the University of Manitoba and the Earth Physics Branch. Although no attempt is made to maintain Whiteshell as a standard magnetic observatory, the data for other than problem periods are routinely edited and analogue plots of the one-minute values are sent as available to World Data Centre A.

Absolute observations in D and I are taken once a week to calibrate the AMOS values. Instrument and building checks are made once a week on the average.

INSTRUMENTATION

The following instrument changes occurred in 1980:

17 January: DVM exchange
15 February: DVM exchange
7 May: DVM exchange
26 September: Whiteshell closed and replaced by Glenlea (49.6°N, 262.9°E)

REDUCTION OF DATA

Final corrections to be applied to the digital magnetogram plots submitted on microfilm to WDC A are listed in Tables 34 to 36.

Secondary digital data were inserted into the master minute value file for the following periods:

January 1(0001) - 17(1710)
30(0001) - 31(2400)
February 1(0001) - 29(1800)
May 3(0001) - 16(2400)
July 25(1811) - 31(2400)
August 1(0001) - 31(2400)
September 1(0001) - 21(1949)

AMOS F values were added to the secondary data during the periods 1 to 17 January and 9 to 29 February in order to adjust the data by using the correction factor

$$F/(X^2 + Y^2 + Z^2)^{1/2}$$

WHITESHELL
(STATION D'ENREGISTREMENT DES VARIATIONS)

Une station AMOS a été installée, durant la période allant du 14 au 30 juillet 1977, au laboratoire de l'université du Manitoba situé à Whiteshell, à 160 km à l'est de Winnipeg. Les coûts de fonctionnement de la station sont répartis entre l'Université et la Direction de la physique du globe. Bien que l'on ne prévoit pas faire de Whiteshell un observatoire magnétique standard, les données autres que pour les périodes incertaines sont éditées de façon routinière et les tracés analogiques disponibles des valeurs enregistrées à chaque minute sont envoyés au WDC A.

Les observations absolues en D et I sont prises une fois par semaine afin de calibrer les valeurs AMOS. Les vérifications de l'édifice et des instruments sont effectuées une fois par semaine en moyenne.

APPAREILS

On a procédé aux changements suivants en 1980:

17 janvier: changement du DVM
15 février: changement du DVM
7 mai: changement du DVM
26 septembre Whiteshell terminé et remplacé par Glenlea (49.6°N, 262.9°E).

REDUCTION DES DONNEES

Les tableaux 34 à 36 donnent les listes des corrections finales qui doivent s'appliquer aux magnétogrammes numériques. Celles-ci sont envoyées en forme de microfilm au WDC A.

Les données numériques secondaires ont été ajoutées au fichier principal pour les périodes suivantes:

Janvier 1(0001) - 17(1710)
30(0001) - 31(2400)
Février 1(0001) - 29(1800)
Mai 3(0001) - 16(2400)
Juillet 25(1811) - 31(2400)
Août 1(0001) - 31(2400)
Septembre 1(0001) - 21(1949)

Les valeurs F AMOS ont été ajoutées aux données secondaires pendant les périodes du 1er au 17 janvier et du 9 au 29 février afin de corriger les données par application du facteur de correction

$$F/(X^2 + Y^2 + Z^2)^{1/2}$$

BASELINES nT				BASELINES nT					
LIGNES DE BASE nT				LIGNES DE BASE nT					
ADOPTED ADOPTÉE			OBSERVED OBSERVEE		ADOPTED ADOPTÉE			OBSERVED OBSERVEE	
Jan	1-17	199	Jan	24	221				
jan	18-29	220-214	jan						
	30-31	246							
Feb	1-8	250	Feb	1	244				
fev	9-29	205-182	fev	15	207				
				22	206				
Mar	1-11	214-209	Mar	7	217				
mars	12-31	208-217	mars	14	209				
				21	215				
Apr	1-30	218-239	Apr	5	225				
avr			avr	12	232				
				19	234				
May	1-16	239-222	May	2	243				
mai	17-31	194-188	mai	7	202				
				10	191				
				17	187				
				23	203				
June	1-30	190-203	June	6	211				
juin			juin	13	179				
				20	200				
July	1-24	206	July	7	215				
juil	25-31	221-213	juil	19	208				
				25	225				
Aug	1-31	214-207	Aug	9	260				
aout			aout						
Sept	1-21	206-197							

Station closed September 21, 19:00 hours.

BASELINES nT			BASELINES nT		
LIGNES DE BASE nT			LIGNES DE BASE nT		
ADOPTED ADOPTÉE			OBSERVED OBSERVEE		
				ADOPTED ADOPTÉE	OBSERVED OBSERVEE
Jan 1-17	149-158		Jan 24	124	
jan 18-31	128-137				
Feb 1-8	135-125		Feb 1	132	
fev 9-29	31		fev 15	39	
			22	27	
Mar 1-11	119-126		Mar 7	144	
mars 12-31	127-119		mars 14	100	
			21	125	
Apr 1-30	121-141		Apr 5	124	
avr			avr 12	122	
			19	134	
May 1-6	148-142		May 2	150	
mai 7-16	142-158		mai 7	142	
17-31	115-125		10	137	
			17	121	
			23	130	
June 1-27	124		June 6	119	
juin 28-30	136		juin 13	115	
			20	114	
July 1-23	133-123		July 7	127	
juil 24-31	142		juil 19	127	
			25	140	
Aug 1-31	140		Aug 9	147	
aout			aout		
Sept 1-21	137-124				

Station closed September 21, 19:00 hours.

BASELINES nT			BASELINES nT		
LIGNES DE BASE nT			LIGNES DE BASE nT		
ADOPTED ADOPTÉE		OBSERVED OBSERVEE	ADOPTED ADOPTÉE		OBSERVED OBSERVEE
Jan 1-29	-56-(-53)	Jan 24	-55		
jan 30-31	(-12)	jan			
Feb 1-8	-3	Feb 1	- 6		
fev 9-29	-38-(-66)	fev 15	-43		
		22	-45		
Mar 1-31	-54	Mar 7	-54		
mars		mars 14	-52		
		21	-53		
Apr 1-30	-55-(-61)	Apr 5	-56		
avr		avr 12	-57		
		19	-57		
May 1-2	-61	May 2	-61		
mai 3-7	-120-60	mai 7	-19		
8-16	-13-23	10	-11		
17-31	-49	17	-47		
		23	-51		
June 1-30	-49	June 6	-52		
juin		juin 13	-45		
		20	-54		
July 1-24	-47	July 7	-51		
juil 25-31	-37-(-47)	juil 11	-49		
		19	-52		
		25	-49		
Aug 1-31	-47-(-59)	Aug 9	-55		
aout		aout			
Sept 1-26	-60-(-72)				

Station closed September 21, 19:00 hours.

ALERT
(VARIATION STATION)

Officer-in-charge: R. Couzens 1979.5-1980.5
R. Alie 1980.5-1981.5

In the summer of 1961 the Dominion Observatory (now Earth Physics Branch, Department of Energy, Mines and Resources) established a combined magnetic and seismic observatory at Alert, Ellesmere Island, Northwest Territories. The choice of Alert Meteorological Station as a new magnetic observatory site resulted from studies of magnetic data recorded there during the International Geophysical Year.

Owing to the presence of a large induction anomaly¹⁵, it was not considered worthwhile to continue a full observatory program at Alert, and photographic recording was discontinued on September 30, 1972. A stand-by variometer of the type described in the introductory section of the report, has continued in operation, and the Ruska magnetograph is re-activated for periods of several weeks to a few months each year as a control for magnetic surveys in the Arctic Islands and for training purposes. Microfilm copies of the fluxgate charts, and of Ruska magnetograms when available, are sent on a regular basis to World Data Center A, Boulder, Colorado.

As a result of Branch Arctic projects and other Canadian and international requests, the Alert station has now been upgraded.

In April 1977 a Datel cassette digital data-logger⁸ was attached to the station fluxgate magnetometer. Data acquisition was sporadic during 1977, better in 1978 but it was not until 1979 that the data recovery rate became acceptable. Since 1979 the digital data for other than problem periods are routinely edited and the one-minute values are sent as available to World Data Centre A.

ALERT
(STATION D'ENREGISTREMENT DES VARIATIONS)

Agent responsable: R. Couzens 1979.5-1980.5
R. Alie 1980.5-1981.5

Au cours de l'été 1961, l'observatoire du Canada (maintenant la Direction de la physique du globe, Ministère de l'Énergie, des Mines et des Ressources) a installé un observatoire combiné magnétique et sismique à Alert, dans l'île Ellesmere, Territoires du Nord-Ouest. Le choix de la station météorologique Alert en tant que nouvel observatoire magnétique est le résultat d'études des données magnétiques enregistrées en cet endroit au cours de l'Année géophysique internationale.

En raison de la présence d'une importante anomalie d'induction¹⁵, on a jugé qu'il était préférable de ne pas poursuivre un programme d'observation à Alert et l'on a mis fin aux enregistrements photographiques le 30 septembre 1972. Un variomètre de réserve du type décrit au chapitre d'introduction du présent rapport a continué d'être exploité, et le magnétographe Ruska est remis en service pendant des périodes de quelques semaines à quelques mois chaque année afin d'assurer le contrôle des levés magnétiques dans les îles de l'Arctique et à des fins de formation. Des exemplaires de microfilms des graphiques fluxgate et des magnétogrammes Ruska sont envoyés régulièrement au WDC A, à Boulder, au Colorado.

Par suite des projets arctiques de la Direction et des autres demandes canadiennes et internationales, on a placé la station d'Alert à un niveau supérieur.

En avril 1977, un enregistreur numérique automatique à cassette Datel⁸ était ajouté au magnétomètre fluxgate de la station. L'acquisition des données a été sporadique au cours de 1977, meilleurs en 1978, mais ce n'est qu'en 1979 que les relevés sont devenus acceptables. Depuis 1979, les données numériques pour les périodes au cours desquelles il n'y a pas de problème sont vérifiées selon la méthode routinière et les valeurs relevées toutes les minutes sont transmises au WDC A.

STATION SITE

The observatory building rests on recent unconsolidated marine sediments that are underlain by metamorphosed sediments of early Paleozoic age. Magnetic field intensity gradients are extremely small: before construction a survey indicated a maximum gradient in the total field intensity of only 10 nT in 300 m. The site is 215 m northwest of the Ministry of Transport Meteorological Station.

REDUCTION OF DATA

Three absolute observations were taken before 25 June, 1980. Since then, absolute observations have been taken once or twice a week during magnetically quiet times.

Baseline values and trace sensitivities to be applied to the Ruska magnetograms submitted on microfilm to WDC A are listed in Tables 37 to 38.

The annual mean values are derived from reduced minute values recorded on a Datel data-logger.

SITE DE L'OBSERVATOIRE

L'édifice de l'observatoire est bâti sur des sédiments marins non consolidés d'origine récente reposant sur des sédiments métamorphosés du début du Paléozoïque. Les gradients d'intensité du champ magnétique sont très faibles: un levé effectué avant la construction a indiqué un gradient maximum de l'intensité du champ total de seulement 10 nT en 300 m. Le site se trouve à 215 m au nord-ouest de la station météorologique du ministère des Transports.

REDUCTION DES DONNEES

Trois observations absolues ont été prises avant 25 juin 1980. Depuis lors, les observations absolues ont été prises une ou deux fois par semaine pendant des périodes magnétiquement calmes.

Les tableaux 37 à 39 donnent les listes des valeurs des lignes de base et des valeurs d'échelle qui doivent s'appliquer aux magnétogrammes Ruska. Celles-ci sont envoyées en forme de microfilm au WDC A.

Les valeurs moyennes annuelles ont été calculées à partir des données réduites d'enregistreur automatique DATEL.

Table 37

Alert 1980

X

BASELINES nT		SCALE VALUES nT/mm	
LIGNES DE BASE nT		VALEUR D'ECHELLE nT/mm	
ADOPTED ADOPTÉE	OBSERVED OBSERVEE	ADOPTED ADOPTÉE	OBSERVED OBSERVEE
Jan jan	420	Jan jan	12.28-12.18
Feb fev	420-425	Feb fev	12.18
Mar 1-15 mars 16-31	425-428 428	Mar 1-15 mars 16-31	12.18 12.18-12.23
Apr avr	428	Apr avr	12.23-12.32
May mai	428	May mai	12.32-12.40
June 1-10(1220) juin 10(1221)- 13(1220) 13(1221)- 30	428 418 402	June juin	12.25-12.16
July juil	406-390	July 1-15 juil 16-31	12.16 12.30
Aug 1-28 aout 29-31	390-376 376-382	Aug 1-28 aout 29-31	12.30 12.25
Sept 1-17 sept 18-25 26-30	382-416 416-407 407	Sept 1-8 sept 9-30	12.25 12.20
Oct 1-12 oct 13-25 26-31	407 407-413 413	Oct 1-20 oct 21-31	12.20 12.25
Nov nov	413	Nov 1-15 nov 16-30	12.30 12.35
Dec 1-15 dec 16-31	413 413-403	Dec dec	12.30

Table 38

Alert 1980

Y

BASELINES nT		SCALE VALUES nT/mm	
LIGNES DE BASE nT		VALEUR D'ECHELLE nT/mm	
ADOPTED ADOPTÉE	OBSERVED OBSERVÉE	ADOPTED ADOPTÉE	OBSERVED OBSERVÉE
Jan jan	-3943	Jan jan	12.48-12.40
Feb fev	-3943-(-3934)	Feb fev	12.40-12.47
Mar 1-15 mars 16-31	-3934-(-3930) -3930	Mar 1-15 mars 16-31	12.47-12.50 12.50
Apr avr	-3930	Apr avr	12.50
May mai	-3930	May mai	12.50
June 1-10(1220) juin 10(1221)- 13(1220) 13(1221)- 30	-3930 -3890 -3900	June juin	12.45
July juil	-3890	July juil	12.50
Aug 1-11 aout 12-31	-3891-(-3892) -3892-(-3916)	Aug aout	12.55
Sept 1-4 sept 5-26 27-30	-3916-(-3920) -3920 -3920-(-3918)	Sept sept	12.50
Oct 1-25 oct 26-31	-3919-(-3909) -3909-(-3908)	Oct oct	12.50
Nov nov	-3908-(-3904)	Nov nov	12.55
Dec dec	-3904-(-3930)	Dec dec	12.60

Table 39

Alert 1980

Z

BASELINES nT		SCALE VALUES nT/mm	
LIGNES DE BASE nT		VALEUR D'ECHELLE nT/mm	
ADOPTED ADOPTÉE	OBSERVED OBSERVEE	ADOPTED ADOPTÉE	OBSERVED OBSERVEE
Jan 55688-55708 jan		Jan 12.0 jan	
Feb 55708-66583 fev		Feb 12.0 fev	
Mar 1-15 mars 55683-55670 15-31 55670		Mar 1-15 12.0 mars 16-31 12.0-11.98	
Apr 55670 avr		Apr 11.98-11.95 avr	
May 55670 mai		May 11.95-11.93 mai	
June 1-10(1220) juin 55670 10(1221)-13(1220) 55230 13(1221)-30 55660		June 1-10(1220) 12.0 juin 10(1221)-30 11.8	
July 1-5 55660 juil 6-31 55660-55651		July 1-15 11.85 juil 16-31 11.92	
Aug 55651-55640 aout		Aug 1-5 11.92 aout 6-15 11.96 16-31 12.04	
Sept 55640-55633 sept		Sept 12.0 sept	
Oct 55633-55628 oct		Oct 1-20 12.0 oct 21-31 12.05	
Nov 1-7 55628 nov 8-30 55627-55636		Nov 12.1 nov	
Dec 55636-55648 dec		Dec 12.1 dec	

SECTION III

LOCAL QUIET DAYS

The five local quiet days for each month are selected on the basis of the R index. The days are ranked in order from the quiet to the least quiet according to the sum of the squares of the daily sum of the R indices for the X and Y components. Local quiet days which do not appear also in the list of the ten international quiet days are underlined.

The following table lists the local quiet days for the observatories (except the K-stations, Ottawa, St. John's, and Victoria) and also lists the five international quiet days.

TROISIEME PARTIE

JOURS CALMES LOCAUX

On trouvera ci-dessus la liste des cinq jours calmes locaux choisis chaque mois sur la base des indices R. Ces jours sont classés dans l'ordre, du plus calme au moins calme, en fonction de la somme des carrés de la somme quotidienne des indices R pour les composantes X et Y. Les jours calmes locaux qui n'apparaissaient pas aussi sur la liste des dix jours calmes internationaux sont soulignés.

Le tableau donne la liste des jours calmes locaux pour les observatoires (sauf les K-stations d'Ottawa, de St.-Jean et de Victoria) et aussi donne la liste des cinq jours calmes internationaux.

LOCAL QUIET DAYS

TABLE/TABLEAU 40

JOURS CALMES LOCAUX

1980	Resolute Bay					Mould Bay					Cambridge Bay				
Jan/jan	18	19	<u>22</u>	23	7	7	23	<u>25</u>	24	18	18	9	24	12	23
Feb/fév	3	12	13	22	10	3	12	13	5	4	3	12	5	4	13
Mar/mars	15	1	12	2	<u>14</u>	15	2	1	12	<u>14</u>	15	1	2	12	18
Apr/avr	21	18	1	<u>24</u>	2	21	18	1	<u>22</u>	2	2	18	1	21	28
May/mai	17	4	16	18	3	17	16	4	18	20	21	4	16	17	3
June/juin	17	18	27	<u>2</u>	28	27	17	18	<u>2</u>	5	27	18	17	5	28
July/juil	2	10	29	<u>15</u>	31	3	10	2	<u>15</u>	12	3	2	<u>15</u>	10	1
Aug/août	28	25	8	24	23	8	28	<u>12</u>	23	24	23	24	28	25	<u>31</u>
Sept/sep	21	26	24	30	<u>27</u>	21	26	24	2	23	21	2	26	30	<u>1</u>
Oct/oct	28	29	27	1	16	28	29	27	1	2	28	27	16	2	29
Nov/nov	5	8	3	13	7	5	8	3	6	7	5	8	3	13	6
Dec/déc	24	5	28	<u>25</u>	23	24	5	<u>25</u>	17	28	24	5	28	17	<u>25</u>

1980	Baker Lake					Yellowknife					Fort Churchill				
Jan/jan	12	<u>22</u>	23	24	9	12	10	<u>25</u>	9	7	12	10	19	31	<u>26</u>
Feb/fév	12	13	3	22	4	13	3	10	22	17	13	22	3	12	17
Mar/mars	15	12	1	18	20	12	15	18	1	2	12	15	1	20	3
Apr/avr	2	1	21	18	28	2	27	28	<u>23</u>	1	2	21	18	<u>23</u>	1
May/mai	21	17	3	16	<u>1</u>	17	21	3	27	28	21	17	3	27	<u>22</u>
June/juin	27	18	17	28	5	18	27	28	5	17	27	18	5	28	17
July/juil	2	3	10	1	<u>15</u>	2	10	23	<u>15</u>	1	2	10	23	<u>15</u>	1
Aug/août	23	25	24	5	28	23	29	24	25	13	29	23	25	13	5
Sept/sep	21	18	2	30	24	21	30	2	<u>27</u>	10	21	2	30	<u>14</u>	23
Oct/oct	28	27	29	1	2	28	1	29	16	27	28	1	16	29	27
Nov/nov	8	5	13	7	6	8	5	7	13	9	8	13	5	6	7
Dec/déc	24	5	17	28	<u>25</u>	24	17	28	5	6	24	17	6	28	5

1980	Great Whale River*					Meanook					International				
jan/jan	10	9	19	12	<u>22</u>	9	10	24	19	12	9	10	18	19	12
Feb/fév	13	12	22	3	5	13	12	5	22	3	13	3	12	5	10
Mar/mars	15	12	20	1	<u>11</u>	12	15	2	1	18	15	12	2	1	18
Apr/avr	1	2	27	<u>5</u>	28	2	1	21	18	19	2	1	18	21	19
May/mai	17	21	3	18	28	17	21	3	4	27	3	17	27	16	2
June/juin	18	27	28	29	5	18	28	17	27	5	27	17	28	18	5
July/juil	-	-	2	10	23	2	10	23	3	1	2	10	3	23	1
Aug/août	-	25	5	23	29	1	29	24	13	25	1	5	8	28	24
Sept/sep	21	19	2	23	30	21	30	2	23	19	21	24	2	26	10
Oct/oct	28	1	29	16	2	28	16	29	1	27	28	1	29	27	20
Nov/nov	8	13	9	5	6	8	23	13	7	5	5	3	7	8	13
Dec/déc	6	28	17	7	5	24	17	5	28	6	24	6	5	28	17

*Missing Data: July 17,24-26; August 11-20.

SECTION IV

ANNUAL MEANS

Tables of annual means for the observatories and variation stations are given in the following pages. For all stations, the annual means of D, H, I, F are now derived from the annual means of the recorded components X, Y, Z.

QUATRIEME PARTIE

VALEURS MOYENNES ANNUELLES

Les tableaux des valeurs moyennes annuelles pour les observatoires et les stations d'enregistrement des variations sont donnés dans les pages suivantes. Pour toutes les stations, les valeurs moyennes annuelles de D, H, I, F dérivent maintenant des valeurs moyennes annuelles des composantes enregistrées X, Y, Z.

TABLE 41

RESOLUTE BAY

Annual Mean Values
Valeurs moyennes annuelles

Year Année	X	Y	Z	D East Est		I North Nord		H	F
	nT	nT	nT	o	'	o	'	nT	nT
1954.5	-96	-915	57971	264	01	89	05.4	920	57978
1955.5	-69	-906	57999	265	38	89	06.1	909	58006
1956.5	-41	-904	58020	267	24	89	06.4	905	58027
1957.5	-24	-903	58065	268	29	89	06.5	903	58072
1958.5	9	-884	58035	270	35	89	07.6	884	58042
1959.5	32	-861	58032	272	08	89	08.9	862	58038
1960.5	54	-850	58052	273	38	89	09.5	852	58058
1961.5	72	-844	58076	274	53	89	09.9	847	58082
1962.5	85	-827	58103	275	52	89	10.8	831	58109
1963.5	108	-815	58120	277	33	89	11.4	822	58126
1964.5	117	-800	58144	278	19	89	12.2	809	58150
1965.5	132	-791	58170	279	28	89	12.6	802	58175
1966.5	141	-780	58208	280	15	89	13.2	793	58213
1967.5	153	-766	58250	281	18	89	13.9	781	58255
1968.5	166	-751	58291	282	28	89	14.7	769	58296
1969.5	179	-732	58320	283	44	89	15.6	754	58325
1970.5	193	-715	58374	285	06	89	16.4	741	58379
1971.5	199	-697	58417	285	56	89	17.3	725	58421
1972.5	222	-686	58444	287	56	89	17.6	721	58448
1973.5	250	-682	58508	290	08	89	17.3	726	58512
1974.5	274	-677	58560	292	02	89	17.1	730	58565
1975.5	303	-677	58578	294	07	89	16.5	742	58583
1976.5	334	-682	58592	296	06	89	15.5	759	58597
1977.5	369	-689	58593	298	10	89	14.1	782	58598
1978.5	399	-696	58597	299	49	89	13.0	802	58602
1979.5	431	-720	58582	300	54	89	10.8	839	58588
1980.5	456	-735	58556	301	49	89	9.2	865	58562

D,I,H,F are derived from the annual means of X, Y, Z.

D,I,H,F ont été calculées à partir des valeurs moyennes annuelles X, Y, Z.

TABLE 42

MOULD BAY

Annual Mean Values
Valeurs moyennes annuelles

Year Année	X	Y	Z	D East Est		I North Nord		H	F
	nT	nT	nT	o	'	o	'	nT	nT
1962.8	983	2205	57951	65	57	87	37.0	2412	58001
1963.5	1001	2208	57940	65	37	87	36.3	2424	57991
1964.5	1015	2212	57948	65	21	87	35.7	2434	57999
1965.5	1034	2220	57960	65	02	87	34.8	2449	58012
1966.5	1053	2233	57991	64	45	87	33.7	2469	58044
1967.5	1067	2247	58019	64	36	87	32.7	2487	58072
1968.5	1078	2258	58053	64	29	87	31.9	2502	58107
1969.5	1092	2276	58081	64	22	87	30.8	2524	58136
1970.5	1115	2306	58120	64	12	87	28.6	2561	58176
1971.5	1125	2322	58145	64	09	87	27.6	2580	58202
1972.5	1141	2333	58179	63	56	87	26.6	2597	58237
1973.5	1161	2343	58211	63	38	87	25.7	2615	58270
1974.5	1187	2337	58251	63	04	87	25.4	2621	58310
1975.5	1215	2329	58286	62	27	87	25.2	2627	58345
1976.5	1230	2328	58293	62	12	87	24.8	2633	58352
1977.5	1243	2322	58292	61	50	87	24.8	2634	58351
1978.5	1261	2303	58299	61	18	87	25.3	2626	58358
1979.5	1274	2287	58287	60	53	87	25.7	2618	58346
1980.5	1278	2266	58258	60	35	87	26.6	2602	58316

D,I,H,F are derived from the annual means of X,Y,Z.

D,I,H,F ont été calculées à partir des valeurs moyennes annuelles X,Y,Z.

TABLE 43
CAMBRIDGE BAY

Annual Mean Values
Valeurs moyennes annuelles

Year Année	X	Y	Z	D East Est		I North Nord		H	F
	nT	nT	nT	o	'	o	'	nT	nT
1972.5	2502	1536	60025	31	33	87	12.0	2936	60097
1973.5	2515	1544	60059	31	33	87	11.2	2951	60131
1974.5	2538	1540	60092	31	15	87	10.3	2969	60165
1975.5	2578	1536	60107	30	47	87	08.5	3001	60182
1976.5	2617	1516	60112	30	05	87	07.2	3024	60188
1977.5	2650	1496	60102	29	27	87	06.1	3043	60179
1978.5	2681	1471	60101	28	45	87	05.2	3058	60179
1979.5	2707	1452	60082	28	13	87	04.4	3072	60160
1980.5	2747	1425	60054	27	25	87	03.0	3095	60134

D,I,H,F are derived from the annual means of X,Y,Z.

D,I,H,F ont été calculées à partir des valeurs moyennes annuelles X,Y,Z.

TABLE 44

BAKER LAKE

Annual Mean Values
Valeurs moyennes annuelles

Year Année	X	Y	Z	D East Est		I North Nord		H	F
	nT	nT	nT	o	'	o	'	nT	nT
1951.6	3674	169	60292	2	38	86	30.5	3678	60404
1952.5	3688	174	60279	2	42	86	29.7	3692	60392
1953.5	3711	182	60287	2	48	86	28.4	3715	60401
1954.5	3743	175	60293	2	41	86	26.6	3747	60409
1955.5	3778	175	60354	2	39	86	24.9	3782	60472
1956.5	3840	171	60377	2	33	86	21.4	3844	60499
1957.5	3877	179	60396	2	39	86	19.4	3881	60521
1958.5	3912	186	60401	2	43	86	17.4	3916	60528
1959.5	3953	204	60434	2	57	86	15.2	3958	60564
1960.5	3974	215	60457	3	06	86	14.0	3980	60588
1961.5	4000	220	60470	3	09	86	12.6	4006	60603
1962.5	4033	229	60475	3	15	86	10.7	4039	60610
1963.5	4059	240	60463	3	23	86	09.2	4066	60600
1964.5	4082	246	60453	3	27	86	07.8	4089	60591
1965.5	4118	239	60449	3	19	86	05.8	4125	60590
1966.5	4143	253	60459	3	30	86	04.3	4151	60601
1967.5	4167	273	60496	3	45	86	03.1	4176	60640
1968.5	4196	286	60555	3	54	86	01.6	4206	60701
1969.5	4221	296	60595	4	01	86	00.4	4231	60742
1970.5	4246	309	60650	4	10	85	59.1	4257	60799
1971.5	4273	319	60685	4	16	85	57.7	4285	60836
1972.5	4312	332	60718	4	24	85	55.5	4325	60872
1973.5	4337	328	60756	4	19	85	54.3	4349	60912
1974.5	4366	325	60774	4	15	85	52.8	4378	60932
1975.5	4418	325	60792	4	12	85	49.9	4430	60953
1976.5	4465	307	60787	3	56	85	47.3	4476	60952
1977.5	4507	286	60751	3	38	85	44.9	4516	60919
1978.5	4534	253	60732	3	12	85	43.4	4541	60902
1979.5	4573	225	60697	2	49	85	41.1	4579	60869
1980.5	4633	201	60650	2	29	85	37.7	4637	60827

D,I,H,F are derived from the annual means of X,Y,Z. All values corrected to new (1977) observatory standard.

D,I,H,F ont été calculées à partir des valeurs moyennes X,Y,Z. Toutes ces valeurs ont été réduites au nouveau (1977) standard de référence de l'observatoire.

TABLE 45

YELLOWKNIFE

Annual Mean Values
Valeurs moyennes annuelles

Year Année	X	Y	Z	D East Est		I North Nord		H	F
	nT	nT	nT	o	'	o	'	nT	nT
1975.5	7564	4217	60249	29	08	81	49.2	8660	60868
1976.5	7605	4193	60246	28	52	81	47.9	8684	60869
1977.5	7648	4160	60227	28	33	81	46.5	8706	60853
1978.5	7669	4129	60230	28	18	81	46.3	8710	60857
1979.5	7693	4094	60208	28	01	81	45.9	8715	60835
1980.5	7711	4073	60179	27	50	81	45.2	8721	60803

D,I,H,F are derived from annual means of X,Y,Z.

D,I,H,F ont été calculées à partir des valeurs moyennes annuelles X,Y,Z.

TABLE 46

FORT CHURCHILL

Annual Mean Values
Valeurs moyennes annuelles

Year Année	X	Y	Z	D East Est		I North Nord		H	F
	nT	nT	nT	o	'	o	'	nT	nT
1957.7	6648	320	60649	2	45	83	44.2	6656	61013
1958.5	6650	329	60641	2	50	83	44.1	6658	61006
1964.5	6826	459	60646	3	51	83	33.1	6841	61031
1965.5	6866	437	60683	3	39	83	41.1	6880	61072
1966.5	6881	452	60701	3	46	83	31.1	6896	61092
1967.5	6917	462	60736	3	49	83	29.3	6932	61130
1968.5	6941	469	60756	3	52	83	28.1	6957	61153
1969.5	6982	479	60781	3	55	83	25.9	6998	61182
1970.5	7030	497	60816	4	03	83	23.4	7048	61223
1971.5	7075	510	60847	5	07	83	21.1	7093	61259
1972.5	7130	509	60869	5	05	83	18.1	7148	61287
1973.5	7168	493	60881	3	56	83	16.2	7185	61304
1974.5	7221	477	60897	3	47	83	13.4	7237	61326
1975.5	7282	454	60888	3	34	83	10.0	7296	61324
1976.5	7338	432	60863	3	22	83	06.8	7350	61305
1977.5	7401	406	60826	3	08	83	03.1	7412	61276
1978.5	7441	371	60807	2	51	83	00.9	7450	61262
1979.5	7489	341	60752	2	36	82	57.9	7497	61213
1980.5	7549	312	60697	2	22	82	54.3	7555	61165

D,I,H,F are derived from annual means of X,Y,Z.

D,I,H,F ont été calculées à partir des valeurs moyennes annuelles X,Y,Z.

TABLE 47

GREAT WHALE RIVER/GRANDE RIVIERE DE LA BALEINE

Annual Mean Values

Valeurs moyennes annuelles (Grande Rivière de la Baleine)

Year Année	X	Y	Z	D East Est		I North Nord		H	F
	nT	nT	nT	o	'	o	'	nT	nT
1967.6	9201	-3401	59302	339	43	80	36.4	9809	60108
1968.5	9246	-3399	59333	339	49	80	34.4	9850	60145
1969.5	9319	-3405	59379	339	56	80	30.8	9922	60202
1970.5	9357	-3407	59430	339	60	80	29.3	9958	60259
1971.5	9430	-3409	59468	340	08	80	25.8	10027	60307
1972.5	9505	-3408	59486	340	16	80	21.9	10098	60337
1973.5	9567	-3417	59489	340	21	80	18.5	10159	60350
1974.5	9641	-3433	59487	340	24	80	14.3	10234	60361
1975.5	9717	-3448	59459	340	28	80	09.7	10311	60346
1976.5	9770	-3460	59417	340	52	79	55.7	10553	60314
1977.5	9855	-3485	59362	340	32	80	00.8	10453	60275
1978.5	9918	-3502	59318	340	33	79	56.7	10518	60243
1979.5	9984	-3523	59242	340	34	79	52.0	10587	60181
1980.5	10057	-3550	59164	340	33	79	46.9	10665	60118

Values for X,Y,I and F derived from monthly means of D,H,Z to 1972.5.
Thereafter D,H,I,F are derived from X,Y,Z.

X,Y,I,F ont été calculées à partir des valeurs moyennes mensuelles D,H,Z
jusqu' à 1972,5. Après cela D,H,I,F ont été calculées à partir des valeurs
moyennes annuelles X,Y,Z.

TABLE 48

MEANOOK

Mean Annual Values
Valeurs moyennes annuelles

Year Année	D East Est		H	Z	X	Y	I North Nord		F
	o	'					o	'	
			nT	nT	nT	nT			nT
1957.5	24	23.1	12921	58801	11768	5335	77	36.4	60204
1958.5	24	15.0	12943	58819	11801	5316	77	35.4	60226
1959.5	24	13.0	12960	58787	11819	5316	77	34.1	60198
1960.5	24	09.7	12985	58774	11848	5316	77	32.5	60192
1961.5	24	06.1	13022	58748	11887	5318	77	30.1	60175
1962.5	24	02.7	13054	58723	11921	5318	77	28.1	60156
1963.5	23	58.7	13076	58711	11949	5314	77	26.5	60150
1964.5	23	54.9	13103	58694	11978	5312	77	24.9	60139
1965.5	23	51.7	13130	58672	12008	5312	77	23.1	60123
1966.5	23	49.6	13150	58663	12029	5312	77	21.9	60119
1967.5	23	47.2	13170	58663	12051	5312	77	20.8	60123
1968.5	23	45.0	13197	58659	12079	5315	77	19.4	60125
1969.5	23	42.1	13234	58662	12118	5320	77	17.2	60136
1970.5	23	39.8	13265	58672	12150	5324	77	15.6	60153
1971.5	23	36.2	13303	58669	12190	5327	77	13.5	60158
1972.5	23	30.8	13333	58668	12226	5319	77	11.8	60164
1973.5	23	23.5	13349	58658	12252	5300	77	10.8	60158
1974.5	23	13.8	13374	58660	12290	5275	77	09.4	60165
1975.5	23	03.2	13399	58640	12329	5247	77	07.7	60151
1976.5	22	52.5	13431	58619	12375	5221	77	05.7	60138
1977.5	22	38.8	13468	58599	12430	5186	77	03.4	60127
1978.5	22	29.9	13466	58576	12441	5153	77	03.2	60104
1979.5	22	18.3	13482	58543	12473	5117	77	01.9	60075
1980.5	22	08.6	13488	58501	12493	5084	77	01.0	60036

X,Y,I,F are derived from annual means, D,H,Z to 1972.5. Thereafter D,H,I,F are derived from X,Y,Z.

X,Y,I,F ont été calculées à partir des valeurs moyennes annuelles D,H,Z jusqu'à 1972,5. Après cela D,H,I,F ont été calculées à partir de X,Y,Z.

TABLE 49

ST. JOHN'S NFLD./ST. JEAN T.-N.

Annual Mean Values
Valeurs moyennes annuelles

Year Année	D East Est		H	Z	X	Y	I North Nord		F
	o	'	nT	nT	nT	nT	o	'	nT
1968.8	333	02.0	17441	50772	15545	-7909	71	02.5	53684
1969.5	333	09.7	17508	50780	15622	-7904	70	58.6	53713
1970.5	333	16.5	17603	50790	15723	-7916	70	53.1	53754
1971.5	333	28.3	17691	50764	15828	-7892	70	47.2	53758
1972.5	333	37.7	17783	50737	15932	-7899	70	41.1	53763
1973.5	333	48.7	17875	50702	16040	-7889	70	34.8	53761
1974.5	333	59.2	17966	50640	16146	-7880	70	28.0	53732
1975.5	334	11.6	18047	50569	16247	-7857	70	21.6	53693
1976.5	334	24.7	18127	50492	16349	-7829	70	15.1	53647
1977.5	334	35.6	18194	50415	16434	-7806	70	09.4	53597
1978.5	334	46.3	18246	50336	16506	-7777	70	04.5	53541
1979.5	334	55.6	18307	50238	16582	-7758	69	58.7	53470
1980.5	335	05.7	18375	50133	16666	-7738	69	52.3	53394

X,Y,I and F are derived from annual means of D,H,Z to 1972.5. Thereafter D,H,I, and F are derived from X,Y,Z. All values are corrected to the new (1977) observatory reference.

X,Y,I,F ont été calculées à partir des valeurs moyennes annuelles D,H,Z jusqu'à 1972,5. Après cela D,H,I,F ont été calculées à partir de X,Y,Z. Toutes ces valeurs ont été réduites au nouveau (1977) standard de référence de l'observatoire.

TABLE 50

OTTAWA

Annual Mean Values
Valeurs moyennes annuelles

Year Année	D East Est	H	Z	X	Y	I North Nord	F		
	o	'	nT	nT	nT	nT	o	'	nT
1968.75	346	18.4	15684	56478	15238	-3713	74	28.8	58615
1969.5	346	18.9	15760	56467	15313	-3729	74	24.3	58625
1970.5	346	17.6	15858	56455	15406	-3758	74	18.6	58640
1971.5	346	18.8	15960	56429	15507	-3776	74	12.4	58643
1972.5	346	18.4	16051	56386	15595	-3800	74	06.6	58626
1973.5	346	18.1	16151	56322	15692	-3825	73	59.9	58592
1974.5	346	16.7	16239	56251	15776	-3852	73	53.8	58548
1975.5	346	15.1	16330	56162	15862	-3881	73	47.2	58488
1976.4	346	13.3	16409	56054	15937	-3908	73	41.0	58406
1977.5	346	10.2	16482	55939	16004	-3940	73	35.0	58317
1978.5	346	07.2	16537	55837	16054	-3967	73	30.2	58234
1979.5	346	03.0	16601	55724	16111	-4002	73	24.6	58144
1980.5	345	57.9	16658	55605	16161	-4040	73	19.4	58047

Values of X,Y,I and F are derived from means of D,H,Z, 1968.5 to 1972.5.
Thereafter D,H,I and F are derived from X,Y,Z.

X,Y,I,F ont été calculées à partir des valeurs moyennes annuelles D,H,Z
jusqu'à 1972,5. Après cela D,H,I,F ont été calculées à partir de X,Y,Z.

TABLE 51

VICTORIA

Summary of Annual Mean Values
Résumé des valeurs moyennes annuelles

Year Année	D East Est		H	Z	X	Y	I North Nord		F
	o	'	nT	nT	nT	nT	o	'	nT
1956.6	23	00.2	18689	53427	17203	7303	70	43.2	56601
1957.75	22	57.1	18705	53408	17224	7294	70	41.9	56589
1958.5	22	55.2	18713	53396	17236	7288	70	41.2	56580
1959.5	22	52.8	18736	53377	17262	7284	70	39.5	56570
1960.5	22	50.3	18748	53362	17278	7277	70	38.5	56560
1961.5	22	47.8	18787	53322	17319	7279	70	35.5	56535
1962.5	22	44.4	18804	53288	17342	7268	70	33.8	56508
1963.5	22	41.4	18814	53264	17358	7257	70	32.7	56489
1964.5	22	38.6	18837	53239	17385	7252	70	30.9	56473
1965.5	22	36.0	18860	53205	17412	7248	70	28.9	56449
1966.5	22	34.2	18873	53179	17428	7244	70	27.6	56429
1967.5	22	31.7	18888	53157	17447	7237	70	26.3	56413
1968.5	22	29.4	18902	53138	17464	7230	70	25.1	56400
1969.5	22	27.4	18923	53127	17488	7228	70	23.7	56396
1970.5	22	24.8	18946	53117	17515	7224	70	22.2	56395
1971.5	22	21.8	18971	53099	17544	7218	70	20.4	56386
1972.5	22	19.0	18986	53085	17564	7209	70	19.2	56378
1973.5	22	15.5	19000	53060	17584	7197	70	17.9	56359
1974.5	22	11.3	19007	53046	17600	7178	70	17.2	56348
1975.5	22	06.1	19019	53025	17621	7156	70	16.1	56333
1976.5	21	59.4	19023	53001	17639	7123	70	15.6	56311
1977.5	21	52.3	19024	52967	17655	7087	70	14.6	56280
1978.5	21	45.9	19013	52944	17658	7050	70	14.8	56255
1979.5	21	38.2	19019	52911	17678	7016	70	13.6	56226
1980.5	21	31.3	19016	52877	17690	6976	70	13.2	56192

X,Y,I,F are derived from annual means of D,H,Z to 1973.5. Thereafter D,H,I,F are derived from X,Y,Z.

X,Y,I,F ont été calculées à partir des valeurs moyennes annuelles D,H,Z jusqu'à 1973,5. Après cela D,H,I,F ont été calculées à partir de X,Y,Z.

TABLE 52

WHITESHELL

Annual Mean Values
Valeurs moyennes annuelles

Year Année	X	Y	Z	D East Est		I North Nord		H	F
	nT	nT	nT	°	'	°	'	nT	nT
1977.8	13928	1276	58783	5	14.1	76	37.0	13986	60424
1978.5	13955	1237	58741	5	03.9	76	35.1	14010	60389
1979.5	14003	1194	58667	4	52.4	76	31.7	14054	60327
1980.36	14039	1186	58606	4	49.7	76	28.9	14089	60276

D,I,H,F are derived from annual means of X,Y,Z.

D,I,H,F ont été calculées à partir des valeurs moyennes annuelles X,Y,Z.

TABLE 53

ALERT

Annual Mean Values
Valeurs moyennes annuelles

Year Année	X	Y	Z	D East Est		I North Nord		H	F
	nT	nT	nT	°	'	°	'	nT	nT
1962.5	720	-3776	55379	280	48	86	01.8	3844	55512
1963.5	722	-3751	55392	280	54	86	03.3	3820	55524
1964.5	728	-3744	55430	281	00	86	03.8	3814	55561
1965.5	743	-3722	55448	281	17	86	05.1	3795	55578
1966.5	724	-3709	55497	281	03	86	06.3	3779	55626
1967.5	717	-3709	55537	280	56	86	06.5	3778	55665
1968.5	707	-3711	55578	280	47	86	06.7	3778	55706
1969.5	697	-3710	55619	280	38	86	07.0	3775	55747
1970.5	680	-3704	55665	280	24	86	07.8	3766	55792
1971.5	678	-3696	55726	280	24	86	08.3	3758	55853
1972.5	678	-3678	55752	280	27	86	09.7	3740	55877
1979.5	814	-3587	55925	282	47	86	14.2	3678	56046
1980.5	829	-3574	55887	283	04	86	14.6	3669	56007

D,I,H,F are derived from the annual means of X,Y,Z.

D,I,H,F ont été calculées à partir des valeurs moyennes annuelles X,Y,Z.

REFERENCES

1. Andersen, F., 1974. An automatic magnetic observatory system. Pub. Earth Phys. Br. 44, No.11.
2. Andersen, F., 1973. Telephone verification system for automatic magnetic observatories. Pub. Earth Phys. Br. 44, No.5.
3. G. Jansen van Beek, 1978 (editor). Catalogue of Services of the Division of Geomagnetism. (Internal Report of Division of Geomagnetism, available in English or French).
4. Finch, H.F., and B.R. Leaton, 1957. MN, RAS, Geophys. Suppl. V. 7, 314.
5. Geuer, J. and M.L. Gervais, 1976. Long-run Ruska Recorder (Users' Manual). Internal Report of Division of Geomagnetism, October 1976.
6. Loomer, E.I., 1976. Annual report for magnetic observatories, 1973. Geomagnetic Service of Canada, Geomagnetic Series No.9, 1976.
7. Trigg, D.E., P.H. Serson and P.A. Camfield, 1971. A solid-state electrical recording magnetometer. Pub. Earth Phys. Br. 41, No.5.
8. Trigg, D.F., 1974. Operating the Datel data-loggers. Geomagnetic Report, Earth Phys. Br., No. 74-2.
9. Trigg, D.F., 1970. A portable D&I magnetometer. Geomagnetic Report, Earth Phys. Br., No.70-3.
10. DeLaurier, J.M., E.I. Loomer, G.Jansen van Beek and A. Nandi, 1974. Editing and evaluating digitally recorded geomagnetic components at Canadian observatories. Pub. Earth Phys. Br. 44, No.9.
11. Serson, P.H. and W.L.W. Hannaford, 1956. A portable electrical magnetometer. Can. J. Technology, 1, No.28, 232-243.
12. Loomer, E.I., E.R. Niblett and K. Whitham, 1960. Record of observations at Yellowknife Magnetic Observatory 1957-1958. Pub. Dom. Obs. Vol. 24, No.8.
13. Currie, B.W., 1976. Canadian-Based Activities, International Magnetospheric Study 1976-1979. National Research Council of Canada, April 1976.
14. Langel, R.A., R.D. Regan, and J.P. Murphy, 1977. MAGSAT: A Satellite for Measuring Mean Earth Magnetic Fields. Goddard Space Flight Center Report X-922-77-199, July 1977.
15. Whitham, K. and F. Andersen, 1962. The anomaly in geomagnetic variations at Alert in the Arctic Archipelago of Canada. Quarterly Journal, Royal Astron. Soc., Vol.7, pép. 220-243.

